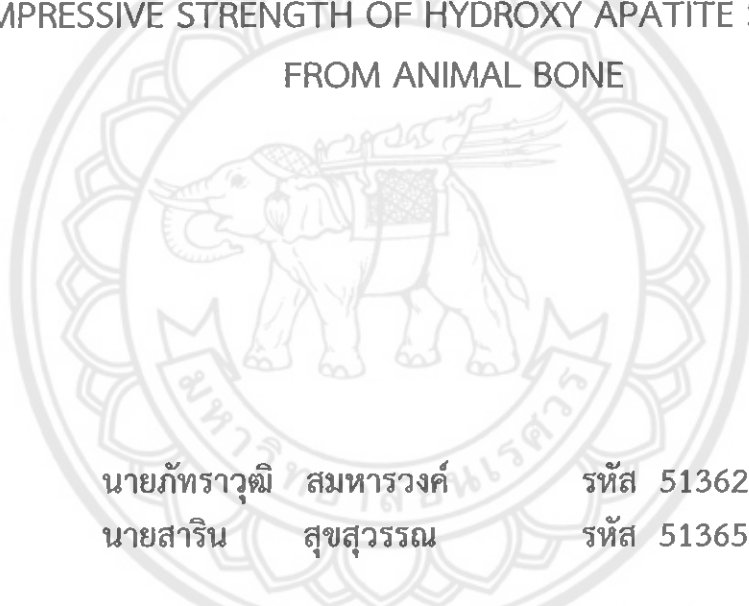




ศึกษาผลกระทบของโพลิเมทิลเมทาคริเลต ที่มีผลต่อสมบัติความ
ต้านทานแรงกดของไฮดรอกซีอะพาไทต์ที่สังเคราะห์ได้จากการดูดสัตว์
**STUDY THE EFFECT OF POLY (METHYL METHACRYLATE) ON THE
COMPRESSIVE STRENGTH OF HYDROXY APATITE SYNTHESIZED
FROM ANIMAL BONE**



นายภัทรรุณิ สมหารวงศ์ รหัส 51362435
นายสาริน สุขสุวรรณ รหัส 51365191

ห้องสมุดคณะวิศวกรรมศาสตร์	๑๖ ก.ค. ๒๕๕๕
วันที่รับ.....
เลขทะเบียน.....	๑๖๙๔๔๖๖๑
เลขเรียกหนังสือ.....	ผู้.....
มหาวิทยาลัยนเรศวร ๑๗๕๘ พ ๒๗๔	

ปริญญาบัตรนี้เป็นส่วนหนึ่งของการศึกษาหลักสูตรปริญญาวิศวกรรมศาสตรบัณฑิต
สาขาวิชาชีวกรรมวัสดุ ภาควิชาชีวกรรมอุตสาหการ
คณะวิศวกรรมศาสตร์ มหาวิทยาลัยนเรศวร
ปีการศึกษา 2554



ใบรับรองปริญญาบัตร

ชื่อหัวข้อโครงการ	ศึกษาผลกระทบของพอลิเมทิลเมทาคริเลต ที่มีผลต่อสมบัติความด้านทาน แรงกดของไอ์ดรอกซีอะพาไทท์ที่สังเคราะห์ได้จากการดูดซึบ		
ผู้ดำเนินโครงการ	นายกัทรรากุณี	สมหารวงศ์	รหัส 51362435
	นายสาริน	สุขสุวรรณ	รหัส 51365191
ที่ปรึกษาโครงการ	อาจารย์ศิริกาญจน์ ขันสัมฤทธิ์		
สาขาวิชา	วิศวกรรมวัสดุ		
ภาควิชา	วิศวกรรมอุตสาหการ		
ปีการศึกษา	2554		

คณะวิศวกรรมศาสตร์ มหาวิทยาลัยนเรศวร อนุมัติให้ปริญญาบัตรนี้เป็นส่วนหนึ่ง
ของการศึกษาตามหลักสูตรวิศวกรรมศาสตรบัณฑิต สาขาวิชาวิศวกรรมวัสดุ

.....ที่ปรึกษาโครงการ
(อาจารย์ศิริกาญจน์ ขันสัมฤทธิ์)

..... ลงนาม ธรรม กรรมการ
(อาจารย์ธนกิจ กานต์ รงชัย)

..... ลงนาม กรรมการ
(อาจารย์กฤษณา พูลสวัสดิ์)

..... ลงนาม กรรมการ
(อาจารย์มานะ วีรวิกรม)

..... ลงนาม กรรมการ
(อาจารย์ทศพล ตรีรุจิราภรณ์)

ชื่อหัวข้อโครงการ	ศึกษาผลกระทบของพอลิเมทิลเมทาคริเลต ที่มีผลต่อสมบัติความต้านทาน แรงดึงของไอกรอกซีอะพาไทต์ที่สังเคราะห์ได้จากการดูดซึม		
ผู้ดำเนินโครงการ	นายภัทรรุ่ง นาริน	สมหารวงศ์	รหัส 51362435
ที่ปรึกษาโครงการ	อาจารย์ศิริกาญจน์ วิศวกรรมวัสดุ	ขันสัมฤทธิ์	รหัส 51365191
สาขาวิชา	วิศวกรรมอุตสาหการ		
ภาควิชา			
ปีการศึกษา	2554		

บทคัดย่อ

โครงการวิจัยนี้มีจุดประสงค์ 2 ประการคือ ทำการสังเคราะห์ไอกรอกซีอะพาไทต์จากการดูดซึมวัสดุเชิงประกลบระหว่างวัสดุที่มีค่าคงทนต่ำและวัสดุที่มีค่าคงทนสูงโดยใช้เทคนิค XRD วิเคราะห์หมู่ฟังก์ชันโดยใช้เทคนิค FTIR และศึกษาสัณฐานวิทยาโดยใช้เทคนิค SEM จากนั้นทำการขึ้นรูปชิ้นงานเป็นวัสดุเชิงประกลบระหว่างไอกรอกซีอะพาไทต์ที่สังเคราะห์ได้จากการดูดซึมวัสดุที่มีค่าคงทนต่ำและวัสดุที่มีค่าคงทนสูงโดยใช้เทคนิค Slip Casting เพื่อที่จะศึกษาผลกระทบของพอลิเมทิลเมทาคริเลต ที่มีผลต่อสมบัติความต้านทานแรงดึงของไอกรอกซีอะพาไทต์ที่สังเคราะห์ได้จากการดูดซึมวัสดุเชิงประกลบเพื่อดูการกระจายตัวของไอกรอกซีอะพาไทต์ จากการทดลองพบว่าไอกรอกซีอะพาไทต์ที่สังเคราะห์ได้จากการดูดซึมวัสดุสามารถยืนยันความเป็นไอกรอกซีอะพาไทต์ได้ด้วยเทคนิค XRD ตามมาตรฐาน JCPDS หมายเลข 74-0565 และจากการวิเคราะห์หมู่ฟังก์ชันพบว่าไอกรอกซีอะพาไทต์ที่สังเคราะห์ได้จากการดูดซึมวัสดุที่มีค่าคงทนต่ำ ซึ่งเป็นองค์ประกอบของกระดูกปะปนอยู่ ซึ่งจะไม่ส่งผลกระทบต่อสิ่งมีชีวิต จากการศึกษาลักษณะสัณฐานวิทยาของพบว่าไอกรอกซีอะพาไทต์ที่สังเคราะห์ได้จากการดูดซึมวัสดุที่มีค่าคงทนต่ำและสัณฐานวิทยาของวัสดุเชิงประกลบ พบว่าเมื่อปริมาณของพอลิเมทิลเมทาคริเลตเพิ่มขึ้น ค่าความต้านทานแรงดึงของวัสดุเชิงประกลบระหว่างไอกรอกซีอะพาไทต์กับพอลิเมทิลเมทาเอมทิลคริเลตมีค่าเพิ่มขึ้น จนถึงอัตราส่วนระหว่างไอกรอกซีอะพาไทต์ที่สังเคราะห์ได้จากการดูดซึมวัสดุที่มีค่าคงทนต่ำและวัสดุที่มีค่าคงทนสูง 70:30 ร้อยละ โดยน้ำหนัก จากนั้นค่าความต้านทานแรงดึงของวัสดุเชิงประกลบลดลง เมื่อปริมาณของพอลิเมทิลเมทาคริเลตเพิ่มขึ้น จากการศึกษาลักษณะสัณฐานวิทยาของวัสดุเชิงประกลบระหว่างไอกรอกซีอะพาไทต์ที่สังเคราะห์ได้ จากการดูดซึมวัสดุที่มีค่าคงทนต่ำและวัสดุที่มีค่าคงทนสูง 70:30 ร้อยละโดยน้ำหนักพบว่ามีการกระจายตัวของไอกรอกซีอะพาไทต์ที่สม่ำเสมอ

กิตติกรรมประกาศ

การศึกษาวิจัยนี้ประสบความสำเร็จได้ด้วยดี ผู้จัดทำขอกราบขอบพระคุณเป็นอย่างสูงในความกรุณาของ อาจารย์ศิริกาญจน์ ขันสมฤทธิ์ ที่ปรึกษาปริญญาเอกนิพนธ์ และอาจารย์ปิยนันท์ บุญพยัคฆ์ ที่ปรึกษาปริญญาเอกนิพนธ์ร่วม ที่สละเวลาของท่านเพื่อมาเป็นที่ปรึกษาพร้อมทั้งให้คำแนะนำ และวิธีการแก้ปัญหาตลอดระยะเวลาการทำปริญญาเอกบับนี้

ขอกราบขอบพระคุณ อาจารย์มานะ วีรวิกรม อาจารย์กฤณณา พูลสวัสดิ์ อาจารย์ธนิกานต์ คงชัย และอาจารย์ทศพล ตรีรุจิราภพวงศ์ ที่กรุณาเสียสละเวลามาเป็นอาจารย์สอบโครงการ พร้อมทั้ง ให้คำแนะนำที่เป็นประโยชน์ และข้อเสนอแนะในการปรับปรุงแก้ไขโครงการนี้

ขอขอบพระคุณ ครูช่างประเทือง โมราราย ครูช่างชวัชชัย ชลบุตร ครูช่างรวมกุต แสงฟ่อง และนักวิทยาศาสตร์อิสระย วัตถุภาพ ที่เคยอธิบายเพื่อสถานที่ และอุปกรณ์ในการทำโครงการ รวมไปถึง การแนะนำใช้อุปกรณ์ และเครื่องมือต่างๆ อย่างถูกวิธี

ขอขอบคุณคณะวิศวกรรมศาสตร์ มหาวิทยาลัยนเรศวร ที่ประสิทธิ์ประสานวิชาความรู้ ให้กับผู้ทำผู้ทำโครงการ งานงานลุล่วงไปด้วยดี

ขอขอบคุณอาจารย์ปฏิบัติการอุดสาหการ คณะวิศวกรรมศาสตร์ มหาวิทยาลัยนเรศวร ที่ให้ ความอนุเคราะห์ในการใช้เครื่อง Universal Testing Machine เตาเผา ตะแกรงร้อน และเครื่องมือ ต่างๆ ภายในอาคาร

ขอขอบพระคุณบิดา มารดา และครอบครัว ที่เคยสนับสนุนในเรื่องค่าใช้จ่าย และกำลังใจ จนสามารถศึกษา ทำโครงการวิจัยเล่มนี้สำเร็จลุล่วงไปได้ด้วยดี

ขอขอบคุณที่ เพื่อน และน้องทุกคนที่เคยช่วยเหลือ และให้กำลังใจ ในการทำโครงการนี้จน สำเร็จไปได้ด้วยดี

ผู้ดำเนินโครงการ
นายกัทรรุณ สมหารวงศ์
นายสาริน สุขสุวรรณ

เมษายน 2555

สารบัญ

	หน้า
ในรั้งบริษัทฯ.....	ก
บทคัดย่อ.....	ข
กิตติกรรมประกาศ.....	ค
สารบัญ.....	ง
สารบัญตาราง.....	น
สารบัญรูป.....	ช
สารบัญสารบัญสัญลักษณ์ และอักษรย่อ.....	ซ
 บทที่ 1 บทนำ.....	1
1.1 หลักการ และทฤษฎีเบื้องต้น	1
1.2 วัตถุประสงค์ของโครงการ.....	1
1.3 เกณฑ์ชี้วัดผลงาน (Output).....	1
1.4 เกณฑ์ชี้วัดผลสำเร็จ (Outcome)	1
1.5 ขอบเขตในการดำเนินงานวิจัย.....	2
1.6 สтанท์ในการดำเนินงานวิจัย	2
1.7 ระยะเวลาในการดำเนินงานวิจัย.....	2
1.8 ขั้นตอน และแผนการดำเนินการ	3
 บทที่ 2 หลักการและทฤษฎีเบื้องต้น	4
2.1 วัสดุเชิงประกอบ	4
2.2 วัสดุชีวภาพ.....	5
2.3 ไயดรอกซีอะพาไทต์.....	6
2.4 พอลิเมทธิลเมทาคริเลต.....	8
2.5 การตรวจสอบไยดรอกซีอะพาไทต์ และวัสดุเชิงประกอบ.....	11
2.6 งานวิจัยที่เกี่ยวข้อง.....	15
 บทที่ 3 การดำเนินโครงการ	16
3.1 สารเคมี และวัสดุที่ใช้ในโครงการ	16
3.2 เครื่องมือที่ใช้ในโครงการ	17
3.3 วิธีการทดลอง	19
3.4 วิธีการทดสอบ.....	20
3.5 วิเคราะห์ผลการทดลอง.....	21
3.6 สรุปผลการทดลอง	21

สารบัญ (ต่อ)

	หน้า
บทที่ 4 ผลการทดลอง และการวิเคราะห์.....	22
4.1 ผลการวิเคราะห์แรงไอลอคซีอะพาไทท์ที่เตรียมได้จากการดูดว้ำ.....	22
4.2 ผลการวิเคราะห์สมบัติความต้านทานแรงกด (Compressive strength) และ ¹ สัณฐานวิทยาของวัสดุเชิงประภพระหว่างไอลอคซีอะพาไทท์กับพอลิเมทิล- เมทาคริเลต.....	26
บทที่ 5 บทสรุป และข้อเสนอแนะ.....	30
5.1 บทสรุป.....	30
5.2 ข้อเสนอแนะ และการพัฒนา.....	30
5.3 ปัญหาที่พบ และแนวทางการแก้ไข.....	30
เอกสารอ้างอิง.....	32
ภาคผนวก ก.....	34
ภาคผนวก ข.....	37
ภาคผนวก ค.....	40
ภาคผนวก ง.....	42
ภาคผนวก จ.....	44

สารบัญตาราง

ตารางที่	หน้า
1.1 ขั้นตอน และแผนการดำเนินโครงการ	3
2.1 สมบัติเชิงกลของไฮดรอกซีอะพาไท特.....	7
3.1 สมบัติของพอลิเมทธิลเมทาคริเลต เกรด MD001.....	16
3.2 แสดงอัตราส่วนระหว่าง HA กับ PMMA ในสภาวะของชิ้นงานตัวอย่างที่ใช้ในการทดลองต่างๆ.....	19
4.1 อินฟราเรดสเปกตรัมของผงไฮดรอกซีอะพาไทต์ที่สังเคราะห์ได้จากการดูดวัวด้วยเทคนิค FTIR.....	24
4.2 อินฟราเรดสเปกตรัมของผงไฮดรอกซีอะพาไทต์ที่สังเคราะห์ได้จากการดูดวัวด้วยเทคนิค FTIR.....	25



สารบัญรูป

รูปที่	หน้า
2.1 สเปกตรัมการเลี้ยวเบนรังสีเอกซ์ของ HA ที่มีอัตราส่วนโดยไม่ระบุว่าง Ca:P เท่ากับ 1.67	6
2.2 ผลของอัตราส่วนโดยไม่ระบุว่างแคลเซียมต่อฟอสฟอรัสกับสมบัติเชิงกล	7
2.3 สูตรโครงสร้างเคมีของพอลิเมทิลเมทาคริเลต	9
2.4 กระบวนการสังเคราะห์ของพอลิเมทิลเมทาคริเลต	9
2.5 ลักษณะและหลักการทำงานของเครื่องเอ็กซเรย์ดิฟเฟกชัน	11
2.6 ลักษณะและหลักการกล้องจุลทรรศน์อิเล็กตรอนแบบส่องการดู	14
3.1 แผนการดำเนินงานวิจัย	18
3.2 ลักษณะทางกระบวนการที่นำขั้นงานมาทดสอบ	21
4.1 ผลการวิเคราะห์ผงไฮดรอกซีอะพาไทต์ที่สังเคราะห์ได้จากการดูดซึมน้ำ ด้วยเทคนิค XRD เปรียบเทียบกับแบบอย่างการเลี้ยวเบนของรังสีเอกซ์จากแฟ้มข้อมูล JCPDS หมายเลข 74-0565	22
4.2 อินฟารेडสเปกตรัมของไฮดรอกซีอะพาไทต์ ที่เตรียมได้จากการดูดซึมน้ำ	23
4.3 อินฟารेडสเปกตรัมของไฮดรอกซีอะพาไทต์ ที่เตรียมได้จากการดูดซึมน้ำ โดยการนำไปเผา ที่อุณหภูมิ 800 °C	24
4.4 สัณฐานวิทยาของผงไฮดรอกซีอะพาไทต์ที่สังเคราะห์ได้จากการดูดซึมน้ำ	25
4.5 วัสดุเชิงประกลบในอัตราส่วนของผงไฮดรอกซีอะพาไทต์กับพอลิเมทิลเมทาคริเลตที่ 90:10 ร้อยละโดยน้ำหนัก	26
4.6 ความสัมพันธ์ระหว่างสมบัติด้านความต้านทานแรงกดของวัสดุเชิงประกลบ และอัตรา ² ส่วนของผงไฮดรอกซีอะพาไทต์ที่สังเคราะห์ได้จากการดูดซึมน้ำกับพอลิเมทิลเมทาคริเลต	28
4.7 สัณฐานวิทยาของวัสดุเชิงประกลบระหว่างผงไฮดรอกซีอะพาไทต์ที่สังเคราะห์ได้จากการ ดูดซึมน้ำกับพอลิเมทิลเมทาคริเลตที่กำลังขยาย 3000 เท่า	29
4.8 สัณฐานวิทยาของวัสดุเชิงประกลบระหว่างผงไฮดรอกซีอะพาไทต์ที่สังเคราะห์ได้จากการ ดูดซึมน้ำกับพอลิเมทิลเมทาคริเลตที่กำลังขยาย 5000 เท่า	29

สารบัญสัญลักษณ์ และอักษรย่อ

HA	=	ไฮดรอกซิอะพาไทท์ (Hydroxyapatite)
PMMA	=	พอลิเมทธิลเมทแอคริเลต (Poly (methyl methacrylate))
XRD	=	เทคนิคการเลี้ยวเบนของรังสีเอ็กซ์ (X-Ray Diffractrometer)
FTIR	=	อินฟราเรดスペกโตรสโคปี (Fourier Transform Infrared Spectroscopy)
SEM	=	จุลทรรศน์อิเล็กตรอนแบบส่องกราด (Scanning Electron Microscope)
UTM	=	เครื่องทดสอบเอนกประสงค์ (Universal Testing Machine)
GPa	=	จิกะปาสกาล
MPa	=	เมกกะปาสกาล
Force	=	แรงที่ใช้ในการทดสอบ (แรงกด) หน่วยเป็นนิวตัน
N	=	นิวตัน
°C	=	องศาเซลเซียส
Pa	=	ปาสกาล
N/m ²	=	นิวตันต่อตารางเมตร
g/10 min	=	กรัมต่อ 10 นาที
kg/cm ²	=	กิโลกรัมต่อตารางเซนติเมตร
kV/mm	=	กิโลโวลต์ต่อมิลลิเมตร
% wt	=	เปอร์เซ็นต์โดยน้ำหนัก
MMC	=	วัสดุเชิงประกลบโลหะ
CMC	=	วัสดุเชิงประกลบเซรามิก
PMC	=	วัสดุเชิงประกลบพอลิเมอร์

บทที่ 1 บทนำ

1.1 หลักการ และทฤษฎีเบื้องต้น

ในปัจจุบันทางการแพทย์นิยมใช้วัสดุเชิงประกลบ เพื่อนำมาทำเป็นวัสดุชีวภาพ เนื่องจากวัสดุเชิงประกลบเป็นการนำสมบัติเด่นของวัสดุแต่ละชนิดมาปรับปรุงหรือเพิ่มสมบัติต่าง ๆ ให้ดียิ่งขึ้น วัสดุเชิงประกลบนั้นประกอบด้วยส่วนที่ทำหน้าที่เป็นเนื้อพื้น (Matrix) และส่วนที่ทำหน้าที่เป็นส่วนเสริมแรง (Reinforcement) ซึ่งวัสดุเชิงประกลบสามารถผลิตได้จากวัสดุทั่วไปไม่ว่าจะเป็น โลหะกับเซรามิก หรือเซรามิกกับพอลิเมอร์ วัสดุเซรามิกที่นิยมนำมาผลิตเป็นวัสดุเชิงประกลบเพื่อนำมาเป็นวัสดุชีวภาพคือ ไฮดรอกซิอะพาไทต์ (Hydroxyapatite : HA) มีสูตรทางเคมี คือ $\text{Ca}_{10}(\text{PO}_4)_6(\text{OH})_2$ เป็นวัสดุที่มีสมบัติที่สามารถเข้ากันได้ดีกับร่างกายมนุษย์ (Biocompatibility) เนื่องจาก HA มีองค์ประกอบหลักคือแคลเซียม (Calcium : Ca) ซึ่งเหมือนกับองค์ประกอบหลักของกระดูกมนุษย์จึงไม่เกิดการต่อต้าน หรือความเสียหายแก่ร่างกาย อีกทั้ง HA ยังมีสมบัติที่สามารถเสื่อมสภาพทางชีวภาพ (Biodegradation) โดยไม่ก่อให้เกิดความเป็นพิษในร่างกาย อีกทั้งยังง่ายต่อการเกิดกระดูกใหม่ (Bioactive) เพื่อรักษากระดูกส่วนที่เสียหายได้ แต่ HA มีข้อเสียคือ มีความแข็งแรงต่ำ จึงไม่เหมาะสมสำหรับการซ่อมแซมกระดูกส่วนที่ต้องใช้ในการรับน้ำหนัก เช่น กระดูกแขน หรือ กระดูกขา ดังนั้น จึงจำเป็นต้องทำการปรับปรุงสมบัติความต้านทานแรงกด โดยการทำเป็นวัสดุเชิงประกลบ (Composite materials) ระหว่างพอลิเมอร์ ชนิดพอลิเมทิลเมทาคริเลต (Polymethyl methacrylate : PMMA) เนื่องจาก PMMA มีสมบัติด้านความแข็ง และความเหนียว จึงนำมาปรับปรุงสมบัติเชิงกลของ HA ที่ทำหน้าที่เป็นเนื้อพื้นของวัสดุเชิงประกลบให้เหมาะสมสำหรับการนำไปใช้งานในลักษณะที่แตกต่างกันตามจุดประสงค์รักษา

ดังนั้น งานวิจัยนี้จึงได้ทำการศึกษาผลการทดลองของ PMMA ที่มีผลต่อสมบัติความต้านทานแรงกดของวัสดุเชิงประกลบระหว่าง HA ที่สังเคราะห์ได้จากการกระดูกวัวกับ PMMA ที่อัตราส่วนต่างๆ เนื่องจาก PMMA เป็นพอลิเมอร์ที่มีสมบัติทนความต้านทานแรงกดได้ดี และยังเป็นพอลิเมอร์ที่ใช้ผลิตเป็นวัสดุชีวภาพ เช่น ซีเมนต์เชื่อมกระดูก (Bone cement)

1.2 วัตถุประสงค์ของโครงการ

1.2.1 เพื่อศึกษาวัฏภากาค วิเคราะห์หมู่ฟังก์ชัน และสัณฐานวิทยาของ HA ที่สังเคราะห์ได้จากการกระดูกวัว

1.2.2 เพื่อศึกษาสมบัติความต้านทานแรงกด และสัณฐานวิทยาของวัสดุเชิงประกลบระหว่าง HA ที่สังเคราะห์ได้จากการกระดูกวัว กับ PMMA ที่อัตราส่วนที่แตกต่างกัน

1.3 เกณฑ์ชี้วัดผลงาน (Output)

วัสดุเชิงประกลบระหว่าง HA ที่สังเคราะห์จากการกระดูกวัวกับ PMMA ที่อัตราส่วนร้อยละ 90:10, 80:20, 70:30, 60:40 และ 50:50 โดยน้ำหนัก

1.4 เกณฑ์ชี้วัดผลสำเร็จ (Outcome)

1.4.1 ลักษณะของวัฏภากาค หมู่ฟังก์ชัน และสัณฐานวิทยาของ HA ที่สังเคราะห์ได้จากการกระดูกวัว

1.4.2 สมบัติความต้านทานแรงกด และสัณฐานวิทยาของวัสดุเชิงประกอบระหว่าง HA ที่สังเคราะห์จากกระดูกวัวกับ PMMA ที่อัตราส่วนร้อยละ 90:10, 80:20, 70:30, 60:40 และ 50:50 โดยน้ำหนัก

1.5 ขอบเขตในการดำเนินงานวิจัย

1.5.1 ตัวแปรควบคุม

1.5.1.1 วัตถุดิบ

- ก. HA ที่สังเคราะห์ได้จากการดูดวัว
- ข. PMMA เกรด MD001
- ค. สารละลายอะซีโนน
- ง. น้ำกลั่น

1.5.1.2 กระบวนการขึ้นรูปโดยเทคนิคการหล่อแบบ (Slip Casting) โดยกำหนดให้ขึ้นรูปเป็นทรงกระบอก มีขนาดเส้นผ่าศูนย์กลาง 6 มิลลิเมตร มีความสูง 12 มิลลิเมตร

1.5.2 ตัวแปรที่ต้องการศึกษา

ปริมาณของ PMMA ที่มีผลต่อสมบัติความต้านทานแรงกดในวัสดุเชิงประกอบระหว่าง HA ที่สังเคราะห์ได้จากการดูดสัตว์กับ PMMA ที่อัตราส่วนร้อยละ 90:10, 80:20, 70:30, 60:40 และ 50:50 โดยน้ำหนัก

1.5.3 ศึกษาวัฏภาก และวิเคราะห์หมุนฟังก์ชันของ HA ที่สังเคราะห์ได้จากการดูดวัว

1.5.4 ศึกษาสมบัติความต้านทานแรงกด และสัณฐานวิทยาของวัสดุเชิงประกอบระหว่าง HA ที่สังเคราะห์จากการดูดวัวกับ PMMA

1.6 สถานที่ในการดำเนินการวิจัย

อาคารปฏิบัติการภาควิชาชีวกรรมอุตสาหการ คณะวิศวกรรมศาสตร์ มหาวิทยาลัยนเรศวร

1.7 ระยะเวลาในการดำเนินการวิจัย

เดือน กรกฎาคม 2554 – เมษายน 2555

1.8 ขั้นตอน และแผนการดำเนินการ

ตารางที่ 1.1 ขั้นตอน และแผนการดำเนินการ

การดำเนินงาน	ก.ค.	ส.ค.	ก.ย.	ต.ค.	พ.ย.	ธ.ค.	ม.ค.	ก.พ.	มี.ค.	เม.ย.
	2554					2555				
1.8.1 ศึกษาข้อมูลเบื้องต้นเกี่ยวกับ HA และ PMMA			↔							
1.8.2 ทำการสกัด HA จากกระดูกสัตว์ และศึกษาลักษณะเฉพาะของ HA โดยเทคนิค XRD, FTIR			↔							
1.8.3 ทำการทดลองโดยการผสม HA กับ PMMA โดยที่ปรับเปลี่ยนปริมาณของ PMMA				↔						
1.8.4 ทดสอบความต้านทานแรงกด ของวัสดุเชิงประกลบระหว่าง HA กับ PMMA					↔					
1.8.5 ศึกษาลักษณะเฉพาะของวัสดุเชิงประกลบระหว่าง HA กับ PMMA โดยเทคนิค SEM						↔				
1.8.6 วิเคราะห์ และสรุปผลการทดลอง พิริยมจัดทำรายงาน							↔			

บทที่ 2

หลักการและทฤษฎีเบื้องต้น

2.1 วัสดุเชิงประกอบ

วัสดุที่ถูกสร้างขึ้นมาจากการวัสดุตั้งแต่ 2 ชนิดขึ้นไป เพื่อใช้ประโยชน์เฉพาะงาน โดยไม่ได้เกิดขึ้นเองตามธรรมชาติ การผสมกันของวัสดุเหล่านี้จะไม่เป็นเนื้อเดียวกันแต่จะแยกกันเป็นเฟสที่เห็นได้อย่างเด่นชัด เฟสแรกเรียกว่า เนื้อพื้น (Matrix) ซึ่งจะอยู่ด้วยกันอย่างต่อเนื่องและล้อมรอบอีกเฟสซึ่งเรียกว่า เฟสที่กระจาย หรือ ตัวเสริมแรง (Reinforcement) ที่กระจายตัวอยู่ในเนื้อพื้นนั้น วัสดุที่เป็นเนื้อพื้น จะรองรับวัสดุเสริมแรงให้อยู่ในรูปร่างที่กำหนด ขณะที่วัสดุเสริมแรงจะช่วยเพิ่ม หรือปรับปรุงสมบัติเชิงกลของวัสดุเนื้อพื้นให้สูงขึ้น ซึ่งวัสดุเสริมแรงอาจมีลักษณะเป็นเส้น ก้อน อนุภาค หรือ เกล็ดก็ได้ แทรกอยู่ในวัสดุเนื้อพื้น (Base Materials) อย่างโลหะ เชรามิก หรือ พอลิเมอร์ ผลของการรวมวัสดุต่างกัน 2 ประเภทเข้าด้วยกันทำให้วัสดุเชิงประกอบมีความแข็งแรง ซึ่งคุณสมบัติของวัสดุผสมที่ได้จะขึ้นอยู่กับคุณสมบัติและปริมาณของสารตั้งต้นเหล่านี้ และรูปทรงทางเรขาคณิตของเฟสที่กระจายตัว

2.1.1 วัสดุเชิงประกอบออกเป็น 3 ประเภท คือ

2.1.1.1 วัสดุเชิงประกอบโลหะ (Metal Matrix Composite : MMC)

วัสดุเชิงประกอบที่มีเนื้อพื้นเป็นโลหะ ส่วนที่เป็นเนื้อพื้นมักจะใช้ อะลูมิเนียม แมกนีเซียม ทองแดง นิกเกิล และโลหะผสม ใช้เสริมแรงร่วมกับโลหะและเชรามิก นิยมใช้กับชิ้นส่วนยานอวกาศ และชิ้นส่วนยานยนต์ที่รู้จักกันในนามของวัสดุผสมเนื้อพื้นโลหะ (MMC) สมบัติที่ดีของ MMC คือความแข็งแรง ความแข็ง ความยืดตัว การทนอุณหภูมิ ใช้งานได้ดีที่อุณหภูมิสูง ๆ แต่กระบวนการผลิตนั้นค่อนข้างยาก มีน้ำหนักมาก และมีราคางสูงโดยเฉพาะเมื่อเทียบกับวัสดุผสมเนื้อพื้นพอลิเมอร์ ตัวอย่างของวัสดุเชิงประกอบกลุ่มนี้ได้แก่ หั้งสเตนคาร์บิด ที่ใช้ทำเครื่องมือคมตัดในงานกัดแต่งต่าง ๆ ซึ่งมีสมบัติที่แข็ง และจุดหลอมเหลวสูงหากต้องการเพิ่มความเหนียวให้กับหั้งสเตนคาร์บิด จะใช้วิธีการนำผงของหั้งสเตนคาร์บิดผสมกับผงของโคบล็อต และอัดด้วยแรงดันสูงให้เป็นรูปทรงที่ต้องการจากนั้นให้ความร้อนจนโคบล็อตหลอมละลายกลายเป็นเนื้อพื้นที่ยืดเห็นี่ยวเมื่อถูกหั้งสเตนคาร์บิด เมื่อปล่อยให้แข็งตัว โคบล็อตจะช่วยให้มีสมบัติต้านทานแรงกระแทกได้ดีขึ้น

2.1.1.2 วัสดุเชิงประกอบเชรามิก (Ceramic Matrix Composite : CMC)

วัสดุเชิงประกอบที่มีเนื้อพื้นเป็นเชรามิก ใช้งานได้ดีมากที่อุณหภูมิสูง และมีน้ำหนักเบากว่ากอลุ่มโลหะ มีความต้านทานแรงกดอัดที่ดี แต่ข้อจำกัดของเชรามิก คือมีความเปราะ และใช้วัสดุเสริมแรงเป็นเส้นใน วัสดุเชิงประกอบกลุ่มนี้มักนำมาใช้งานในสภาวะแวดล้อมที่มีอุณหภูมิสูง เช่น กังหันใบพัดของเครื่องยนต์ไอพัน กระดูกเทียม พื้นปูล้อม เป็นต้น

วัสดุเชิงประกลบระหว่างเซรามิกกับพอลิเมอร์กำลังมีการศึกษา กันอย่างกว้างขวาง สำหรับการนำไปใช้ทางการแพทย์ที่หลากหลาย เช่น การเคลือบวัสดุเพื่อใช้งานบริเวณที่ต้องการรับน้ำหนัก ตัวอย่างพอลิเมอร์ที่ไม่สามารถย่อยสลายได้ทางชีวภาพ และทำหน้าเป็นส่วนเสริมแรงให้กับวัสดุเชิงประกลบทางชีวภาพ เช่น พอลิเมทธาคริเลต พอลิชัลโลฟเนต พอลิอิเทอร์อิเทอร์คิโตน และอิพอกซี่ งานวิจัยส่วนมากที่มักใช้ทำวัสดุเชิงประกลบที่สามารถย่อยสลายได้ทางชีวภาพ ใช้พอลิแลกติดแอสิต พอลิไกลคอลิกแอสิต และโคพอลิเมอร์ของตัวมันเอง

2.1.1.3 วัสดุเชิงประกลบพอลิเมอร์ (Polymer Matrix Composite : PMC)

วัสดุเชิงประกลบที่มีเนื้อพื้นเป็นพอลิเมอร์ ทั้งที่เป็นเทอร์โมเซตติค และเทอร์โมพลาสติก ข้อจำกัดของพอลิเมอร์ คือ ใช้งานได้ดีที่อุณหภูมิต่ำ มีสมบัติเด่นในเรื่องของความต้านทานแรงดึง ความแข็งแกร่ง ความต้านทานแรงเสียดสี ความต้านทานการกัดกร่อน ยกตัวอย่าง การนำไปใช้งาน เช่น การผลิตเรือจากไฟเบอร์กลาส ยางรถยนต์ และใช้วัสดุเสริมแรงได้หลายชนิด เช่น เส้นใยแก้ว เส้นใยคาร์บอน เส้นคาดโลหะ เป็นต้น พอลิเมอร์บางชนิด เช่น อิพอกซี่ และพอลิเอสเทอร์ มักมีข้อจำกัดในการใช้งาน เนื่องจากพอลิเมอร์เหล่านี้มีความแข็งแรงเชิงกลต่ำ เมื่อเทียบกับวัสดุอื่น เช่น โลหะ เป็นต้น แต่พอลิเมอร์มีจุดเด่นเรื่องขึ้นรูปง่าย สามารถขึ้นรูปทรงที่มีรายละเอียดซับซ้อนได้ง่าย และมีน้ำหนักเบาขณะที่วัสดุเช่น แก้ว อะรามีด (Aramid) และบอรอน (Boron) มีจุดเด่นเรื่อง ความแข็งแรงต่อแรงดึง (tensile strength) และความแข็งแรงต่อแรงกด (Compressive Strength) สูง แต่ว่าวัสดุที่กล่าวมานี้เมื่อปราบภัยในรูปของแข็ง แล้วสมบัติเด่นเหล่านี้ปราบภัยยากได้ไม่ชัดเจน เนื่องจากวัสดุสามารถแตกหักจาก ความเค็น (Stress) ได้ง่ายเพียงแค่พิวของวัสดุมีรอยต่าหินขนาดเล็กเท่านั้น

ดังนั้นการผสมพอลิเมอร์กับส่วนเสริมแรงที่เป็นอนุภาค ทำให้วัสดุมีสมบัติดีขึ้น เพราะเป็นการรวมเอาจุดเด่นของวัสดุพอลิเมอร์ กับจุดเด่นของเซรามิกเข้าไว้ด้วยกัน โดยเนื้อพื้นของพอลิเมอร์ทำหน้าที่กระจายแรง ที่กระทำต่อวัสดุลงไประหว่างส่วนเสริมแรงที่เป็นอนุภาค และพอลิเมอร์ยังทำหน้าที่ปกป้องส่วนเสริมแรงที่เป็นอนุภาคไม่ให้เสียหาย เนื่องจากการเสียดสีและการกระแทก ผลของการรวมพอลิเมอร์กับส่วนเสริมแรงที่เป็นอนุภาค ทำให้วัสดุเชิงประกลบพอลิเมอร์มีจุดเด่นหลายอย่าง ได้แก่ มีค่าความแข็งแรงและความแข็งตึง (Stiffness) สูง สามารถขึ้นรูปง่าย น้ำหนักเบา และทนทานต่อสภาพแวดล้อมต่าง ๆ

2.2 วัสดุชีวภาพ

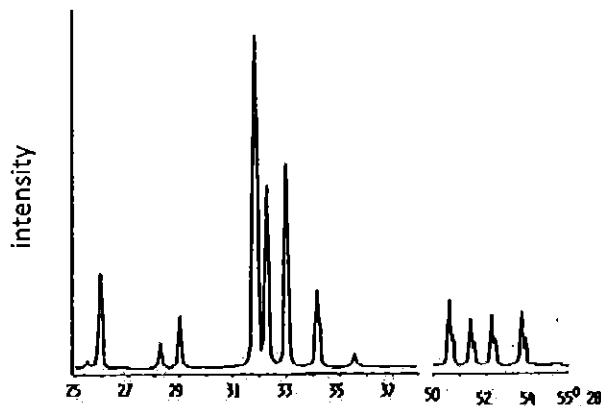
ในงานวิจัยนี้สนใจวัสดุเชิงประกลบทางชีวภาพเพื่อไปประยุกต์การใช้งานทางด้านวัสดุชีวภาพ ชิ้นวัสดุชีวภาพ หมายถึงวัสดุที่สามารถใช้แทนส่วนหนึ่งส่วนใดของเนื้อเยื่อในอวัยวะ ส่วนหนึ่งส่วนใด ในร่างกายมนุษย์ที่เลื่อมสภาพโดยไม่เกิดปฏิกิริยาจากร่างกายมนุษย์ วัสดุชีวภาพสามารถผลิตได้จากวัสดุทั่วไปไม่ว่าจะเป็น โลหะ เซรามิก พอลิเมอร์ วัสดุเชิงประกลบ หรือ สารกึ่งตัวนำ (William, 2551) คำว่าวัสดุชีวภาพจำพวกวัสดุเชิงประกลบ หมายถึงสิ่งที่มีองค์ประกอบที่แตกต่างกัน 2 ส่วนขึ้นไป โดยทั่วไปแล้วในทางวิศวกรรม หรือ วัสดุศาสตร์เราใช้คำว่า วัสดุเชิงประกลบ กับวัสดุที่

ประกอบด้วยองค์ประกอบที่แทรกต่างกันในระดับมาก และมีสมบัติที่เป็นผลมาจากการสมบัติของแต่ละองค์ประกอบนารุณกัน วัสดุเชิงประกอบมีหลากหลายประเภทด้วยกัน

2.3 ไฮดรอกซีอะพาไทต์ (Hydroxyapatite : HA)

ไฮดรอกซีอะพาไทต์เป็นสารประกอบแคลเซียมฟอสเฟตซึ่งที่มีทั้งประจุบวก และประจุลบบนผิวนมoleกุลเดียวกันมีองค์ประกอบพื้นฐานเป็นแคลเซียมฟอสเฟต ไฮดรอกซีอะพาไทต์บริสุทธิ์เป็นปริมาณสารสัมพันธ์ และมีสูตรnmoleกุลเป็น $\text{Ca}_{10}(\text{PO}_4)_6(\text{OH})_2$ ประกอบด้วย Ca^{2+} , PO_4^{3-} และ OH^- ซึ่งเป็นสารอนินทรีย์ชีวภาพที่พบได้ในสิ่งมีชีวิตตามแหล่งธรรมชาติทั่วไป ซึ่งผงไฮดรอกซีอะพาไทต์บริสุทธิ์มีองค์ประกอบทางทฤษฎีคือ มี Ca อยู่ร้อยละ 39.68 โดยน้ำหนัก และ P ร้อยละ 18.45 โดยน้ำหนัก และมีอัตราส่วนระหว่างแคลเซียมต่อฟอสฟอรัส (Ca:P) คือ 2.151 โดยน้ำหนัก หรือ 1.67 โดยโมล ถ้าอัตราส่วนโดยโมลมีค่าเท่ากับ 1.67 ลักษณะของการเลี้ยวเบนรังสีเอ็กซ์จะเป็นดังภาพที่ 2.1 ถ้าอัตราส่วนระหว่าง Ca:P น้อยกว่า 1.67 โดยโมล จะได้ผงไฮดรอกซีอะพาไทต์ที่มีเฟสอื่นปนอยู่ เช่น เบตาไตรแคลเซียมฟอสเฟต (β -TCP, $\text{Ca}_3(\text{PO}_4)_2$) หรือ เฟสอื่น เช่น ไตรแคลเซียมฟอสเฟต (TTCP , $\text{Ca}_4(\text{PO}_4)_2\text{O}$) ถ้าอัตราส่วนระหว่าง Ca:P มากกว่า 1.67 โดยโมล จะได้เฟสของ CaO ปนอยู่กับเฟสของผงไฮดรอกซีอะพาไทต์ โดยในเชิงพานิชย์อัตราส่วนโดยโมลระหว่าง Ca:P ของวัสดุผงไฮดรอกซีอะพาไทต์ค่าที่ยอมรับได้จะอยู่ในช่วง 1.57-1.70

ไฮดรอกซีอะพาไทต์ซึ่งเป็นชีววัสดุที่เร่งปฏิกิริยาการสร้างเนื้อเยื่อ (Bioactive Material) นิยมนำมาผลิตข้อกระดูกเทียม รากฟันเทียม เพาะสามารถเร่งการสร้างเซลล์กระดูก และเซลล์เนื้อเยื่อเกี่ยวพัน (Connective Tissue) ทำให้เกิดการยึดติดระหว่างวัสดุปลูกถ่าย และเนื้อเยื่อประสานกันอย่างรวดเร็วมีความแข็งแรงโดยเฉพาะวัสดุชนิดพรุนที่มีรูพรุนขนาดใหญ่มากกว่า 100-150 ไมครอน เป็นการเพิ่มพื้นที่ผิวทำให้เลือด และสารเคมีที่จำเป็นในการสร้างเนื้อเยื่อสามารถผ่านเข้าออกได้ดีช่วยย่นระยะเวลาในการรักษาให้ลดลงได้ ด้วยคุณสมบัติดังกล่าวจึงมีการพัฒนานำไฮดรอกซีอะพาไทต์มาใช้ประโยชน์ในหลายด้านโดยเฉพาะการใช้เป็นสารทดแทนกระดูก หรือ ใช้เป็นสารดูดซับ และแยกอนุภาคที่มีประจุ



รูปที่ 2.1 สเปกตรัมการเลี้ยวเบนรังสีเอ็กซ์ของ HA ที่มีอัตราส่วนโดยโมลระหว่าง Ca:P เท่ากับ 1.67
ที่มา : Weiner (1998)

2.3.1 สมบัติเชิงกลของไฮดรอกซีอัฟไฟท์

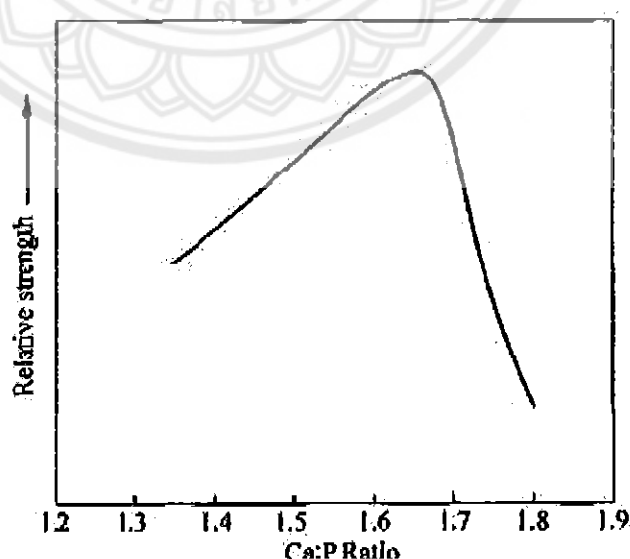
ค่าสมบัติเชิงกลขึ้นกับเทคนิคการวัดขนาดเกรน และสิ่งปนเปื้อนในไฮดรอกซีอัฟไฟท์ ปัจจัยเหล่านี้แสดงให้เห็นถึงความเกี่ยวข้องกับสมบัติเชิงกลโดยตรง แสดงดังตารางที่ 2.1

ตารางที่ 2.1 สมบัติเชิงกลของไฮดรอกซีอัฟไฟท์

คุณสมบัติ	ค่าของสมบัติ	หน่วย
ค่ามอดูลัสความยืดหยุ่น	35-120	GPa
ค่าการทนต่อการบิดอ琉璃	44-115	GPa
ค่าความต้านทานแรงกด	120-900	MPa
ค่าความต้านทานแรงดึง	38-300	MPa
ค่าความทนทานต่อการดัดโค้ง	38-350	MPa

ที่มา : รังสฤษฎ์ (2553)

การกระจายตัวของข้อมูลจะเป็นผลมาจากการธรรมชาติทางสถิติของการกระจายข้อมูลของค่าความแข็ง ผลของการมีขนาดของเกรน สิ่งแปรปรวน ซึ่งเมื่อไฮดรอกซีอัฟไฟท์มีอัตราส่วนต่อโมลของ Ca:P เพิ่มขึ้นความแข็งแรงจะเพิ่มขึ้น และจะมีความแข็งแรงที่สุด เมื่ออัตราส่วนต่อโมลของ Ca:P เท่ากับ 1.67 และจะลดลงเมื่ออัตราส่วนต่อโมลของ Ca:P มากกว่า 1.67 เนื่องจากค่าอัตราส่วนต่อโมลของ Ca:P เท่ากับ 1.67 เป็นค่าที่มีความสเถียรมากที่สุด และมีการสลายตัวช้าที่สุด ถ้าปริมาณของ Ca มาขึ้นความแข็งแรงจะลดลงเป็นลักษณะเส้นโค้ง แสดงดังรูปที่ 2.2



รูปที่ 2.2 ผลของอัตราส่วนโดยไม่ระบุว่างแคลเซียมต่อฟอสฟอรัสกับสมบัติเชิงกล

ที่มา : Yasuda (2000)

การสังเคราะห์ผงไฮดรอกซีอะพาไทต์นั้นสามารถเตรียมได้จากสามแหล่ง คือ

2.3.1.1 จากสารเคมี เช่น แคลเซียมไนเตรต และแอมโมเนียมฟอสเฟต เป็นต้นโดยสามารถทำโดยปฏิกริยาต่าง ๆ ดังนี้ ปฏิกริยาไฮโดรเทอร์มอล ปฏิกริยาไฮโดรไลซิส ปฏิกริยาการตกตะกอน เป็นต้น

2.3.1.2 จากปะการัง โดยนำมาผ่านกระบวนการเปลี่ยนเป็นสารไฮดรอกซีอะพาไทต์ แต่ปะการังมีปริมาณน้อย และเป็นปัญหาด้านสิ่งแวดล้อมจึงไม่นิยมนำมาใช้

2.3.1.3 จากการให้ความร้อนสามารถเตรียมไฮดรอกซีอะพาไทต์ โดยการให้ความร้อนแก่กระดูกสัตว์ที่เหลือทิ้งจากกระบวนการผลิตอื่น เช่น กระดูกปลา กระดูกวัว พื้น และกระดูกหมู หรือจากการรัง เป็นต้น โดยมากจะนิยมใช้กระดูกวัว และกระเบื้องมากกว่า เนื่องจากมีปริมาณมาก และเป็นสัตว์ที่มนุษย์ใช้ประโยชน์อยู่แล้วทั้งการใช้แรงงาน และการบริโภค การสกัดสารอินทรีย์ออกจากเนื้อของกระดูกสัตว์ทำได้หลายวิธี เช่น

ก. การเตรียมด้วยกระบวนการสกัดโดยใช้การต้มในน้ำเดือด (Subcritical water) เป็นการเตรียมปฏิกริยาการย่อยสลายโดยต้ม ซึ่งเป็นปฏิกริยาที่เกิดขึ้นได้ในหม้อนึ่งแรงดันสูง (Autoclave) และอบด้วยเตาในโครงเวฟ

ข. การเตรียมด้วยกระบวนการทางเบส (Alkaline hydrothermal hydrolysis) เป็นการเตรียมปฏิกริยาการย่อยสลายโดยต้มด้วยความร้อนโดยการเติมเบสเข้าช่วยเพื่อสกัดสารอินทรีย์ออกจากเนื้อของกระดูกสัตว์

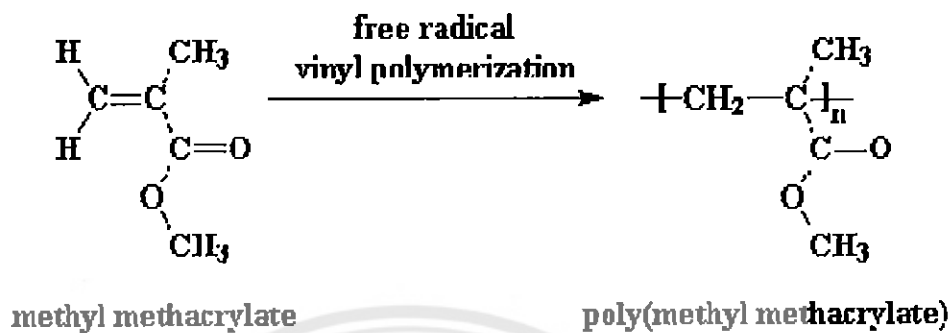
ค. การเตรียมด้วยกระบวนการทางความร้อน (Thermal decomposition) เป็นการเตรียมปฏิกริยาการย่อยสลายโดยต้มด้วยกระบวนการทางความร้อน โดยการต้มด้วยน้ำ ณ. อุณหภูมิจุดเดือนของน้ำเพื่อเป็นการย่อยสลายโดยต้ม ไขมัน หรือ สารอินทรีย์ที่อยู่ในเนื้อกระดูกสัตว์ หลังจากนั้นนำกระดูกที่ได้ไปทำการเผาที่อุณหภูมิ 800 องศาเซลเซียส และนำไปบดละเอียด

ดังนั้นในงานวิจัยนี้จำได้ทำการสังเคราะห์ไฮดรอกซีอะพาไทต์ที่ได้จากการกระดูกสัตว์โดยการเตรียมด้วยกระบวนการทางความร้อน เนื่องจากกระบวนการเตรียมไฮดรอกซีอะพาไทต์ เป็นกระบวนการทางความร้อนโดยเทคนิคที่ค่อนข้างง่าย ไม่ซับซ้อนมาก และได้ผงไฮดรอกซีอะพาไทต์ที่มีความบริสุทธิ์เนื่องจากผ่านกระบวนการเผาที่อุณหภูมิสูง

2.4 พอลิเมทิลเมทาคริเลต (Poly (methyl methacrylate) : PMMA)

พอลิเมทิลเมทาคริเลต หรือ มีชื่อเรียกทั่วไปเรียกว่า เรซินอะคริลิก จัดเป็นกลุ่มของเทอร์โม-พลาสติก (Thermoplastic) ที่มีความเป็นอสัมฐาน (Amorphous) สูง ความไม่เป็นผลึก หรือ ความเป็นอสัมฐานของพอลิเมอร์จะส่งผลทำให้พอลิเมอร์ตั้งกล่าวมีสมบัติแข็ง ใส และโปร่งแสงเหมือนแก้ว สมบัติเด่นของพอลิเมทิลเมทาคริเลต คือ แข็ง เหนียว และมีความโปร่งใสสูงยอมให้แสงผ่านได้ถึงร้อยละ 92 ทั้งยังสามารถนำไปย้อมสีได้ง่าย การประยุกต์ใช้งานของพอลิเมทิลเมทาคริเลต โดยส่วน

ใหญ่ๆ ก็จะนำไปใช้เป็นชิ้นส่วนประกอบของรดินต์ ทำเลนซ์ ทำเครื่องประดับ กระเบื้องมุงหลังคา ชนิดใส และยังนำไปทำเป็นวัสดุชีวภาพ เช่น ชีเมนต์ซึ่งกระดูก สูตรโครงสร้างเคมีของพอลิเมทิลเมทาคริเลต แสดงดังรูปที่ 2.3

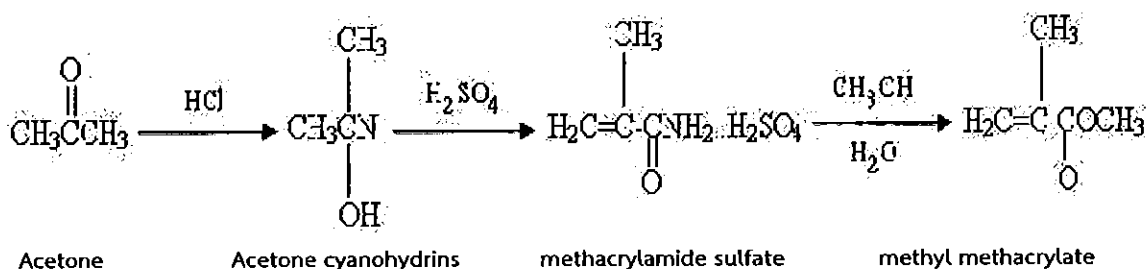


รูปที่ 2.3 สูตรโครงสร้างเคมีของพอลิเมทิลเมทาคริเลต

ที่มา : Billmeyer (1984)

2.4.1 กระบวนการสังเคราะห์พอลิเมทิลเมทาคริเลต

กระบวนการสังเคราะห์พอลิเมทิลเมทาคริเลตสามารถทำได้หลายวิธีทั้งกระบวนการสังเคราะห์พอลิเมอร์แบบสารละลาย (Solution Polymerization) แบบอิมัลชัน (Emulsion Polymerization) แบบแขวนลอย (Suspension Polymerization) และแบบบัลค์ (Bulk polymerization) ซึ่งกระบวนการสังเคราะห์พอลิเมอร์แบบบัลค์เป็นกระบวนการพอลิเมอไรเซชันที่ง่ายที่สุด ต้นทุนในการผลิตค่อนข้างต่ำ และได้ผลิตภัณฑ์ที่มีสีเจือปนน้อยที่สุด ในขณะที่กระบวนการขึ้นรูปแผ่นพอลิเมทิลเมทาคริเลตเพื่อนำมาประยุกต์ใช้งานนั้น นิยมผลิตด้วยกระบวนการหล่อ (Casting Process) ซึ่งเป็นกระบวนการขึ้นรูปที่ง่าย และผลิตภัณฑ์แผ่นพอลิเมทิลเมทาคริเลตที่เตรียมได้จะมีลักษณะเป็นแผ่นที่มีคุณสมบัติความโปร่งใสสูงกว่ากระบวนการผลิตแบบอื่น โดยกระบวนการสังเคราะห์ของพอลิเมทิลเมทาคริเลตสามารถทำโดยการเปลี่ยนอะซิโตนเป็นไซยาโน-ไออดrin ด้วยการเติมกรดซัลฟิริกเข้มข้นที่ 100 องศาเซลเซียส และสารละลายเมทานอลในน้ำโดยปฏิกิริยาหั้งหมด แสดงดังรูปที่ 2.4 (Billmeyer, 1984)



รูปที่ 2.4 กระบวนการสังเคราะห์ของพอลิเมทิลเมทาคริเลต

ที่มา : Billmeyer (1984)

2.4.2 การประยุกต์ใช้งานของพอลิเมทิลเมทาคริเลต

ปัจจุบันอะคริลิกพลาสติกถูกประยุกต์ใช้ในงานหลายอย่างไม่ว่าจะเป็นเครื่องประดับ อุปกรณ์สำนักงาน อุปกรณ์ในห้องน้ำ สีทาบ้าน ป้ายโฆษณา หรือ ป้ายชื่อร้าน และอื่น ๆ อีกมาก many แต่มีการใช้งานบางอย่างที่นำจุดเด่นของพลาสติกมาใช้ได้อย่างลงตัว เช่น

2.4.1.1 งานด้านศัลยกรรมพบว่ามีการใช้งานกันอย่างแพร่หลาย และกว้างขวางมานานแล้ว ทั้งในรูปแบบที่เป็นแบบผงพอลิเมทิลเมทาคริเลต และในรูปของแผ่นพอลิเมทิลเมทาคริเลต ใส เช่น การนำมาใช้เป็นฐานฟันปลอม เนื่องจากมีความสวยงาม น้ำหนักเบา ราคาถูก ขั้นตอนการผลิตทำได้ง่าย เหมาะสำหรับการใช้ในช่องปากเนื่องจากซ่อมแซมได้ง่าย และยังนิยมนำไปทำเป็นชิเมนต์เชื่อมกระดูก (Bone ceramic) เนื่องจากมีความแข็งแกร่งสูง น้ำหนักเบา และยังทนต่อความต้านทานแรงกดได้ดี (กิติกร, 2549)

2.4.1.1 งานที่ต้องการความใส และความแข็งแรง เช่น กระจกบ่อเลี้ยงปลา ตู้ปลาส่วนใหญ่มักจะใช้กระจกแก้ว เช่นเดียวกับในบ่อเลี้ยงปลาขนาดใหญ่อย่างในพิพิธภัณฑ์สัตว์น้ำที่ต้องใช้แผ่นกระจกขนาดใหญ่เพื่อรับรองรับแรงดัน และน้ำหนักของน้ำปริมาณมหาศาล แต่กระจกแก้วมีข้อด้อยสำคัญอย่างหนึ่ง คือ ขนาดแผ่นกระจกที่หนาขึ้น จะมีผลให้แสงส่องผ่านได้น้อยลง ทำให้มองเห็นปลาในบ่อไม่ชัดเจนเท่าที่ควร ดังนั้นบ่อเลี้ยงปลาขนาดใหญ่สมัยใหม่จึงเปลี่ยนมาใช้แผ่นอะคริลิกพลาสติกแทนกระจกแก้ว เพราะอะคริลิกมีจุดเด่นเหนือกว่ากระจกแก้วหลายอย่าง คือ

ก. น้ำหนักเบากว่า (อะคริลิกพลาสติกมีความหนาแน่นน้อยกว่าแก้วมากกว่าครึ่ง) ทำให้สามารถเคลื่อนย้ายและติดตั้งได้ง่ายกว่า

ข. แสงสว่างสามารถส่องทะลุผ่านอะคริลิกพลาสติกได้มากกว่าแก้ว

ค. การเชื่อมต่อแผ่นอะคริลิกพลาสติกสามารถเชื่อมได้ถึงระดับโมเลกุล โดยทางสารเคมีบางชนิด เช่น ไดคลอโรเมเทน (dichloromethane) หรือ ไตรคลอโรเมเทน (trichloromethane) ลงที่ผิวพลาสติกทำให้พลาสติกอ่อนตัว หรือ เหลวก่อนประกอบแผ่นอะคริลิกเข้าด้วยกัน วิธีนี้ทำให้พลาสติกสามารถเชื่อมต่อกันได้เป็นเนื้อเดียว และบริเวณรอยต่อจะมีขนาดเล็กมาก จนแทบมองไม่เห็น ทำให้ผลงานมีความสวยงามมากกว่า

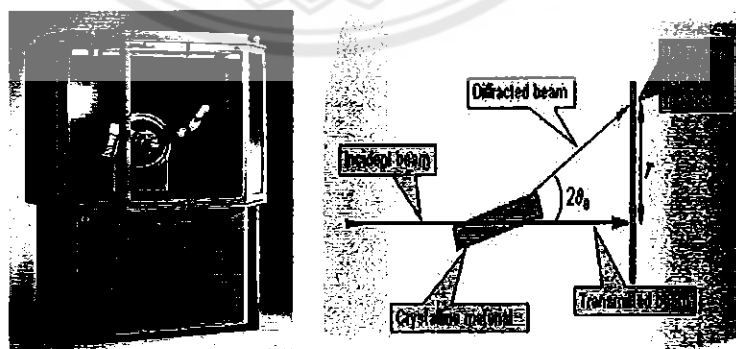
ก. อะคริลิกพลาสติกมีความเป็นฉนวนความร้อนดีกว่าแก้วประมาณร้อยละ 20 จึงช่วยลดค่าใช้จ่ายในการด้านพลังงานสำหรับทำความร้อน หรือ ความเย็นในน้ำได้ขณะที่จุดด้อยของการใช้อะคริลิกพลาสติก คือ มันมีราคาแพงกว่าแก้ว และเกิดรอยขูดขีดได้ง่ายกว่าแก้ว แต่สามารถนำอะคริลิกไปเคลือบผิวให้ทนต่อการขูดขีดได้

2.5 การตรวจสอบไอดรอกซีอะพาไทต์ และวัสดุเชิงประกอบ

2.5.1 การเลี้ยวเบนของรังสีเอ็กซ์ (X-Ray Diffractrometer : XRD)

เป็นเทคนิคที่นิยมใช้ในการวิเคราะห์ และระบุองค์ประกอบทางเคมี โครงสร้างของสารที่มีลักษณะเป็นผลึก (Crystalline) และวัสดุที่มีความเป็นผลึกสูงจะให้ลักษณะของพีก (Peak) ที่สูง และแคบในขณะที่วัสดุที่มีความเป็นผลึกต่ำ ขนาดของอนุภาค การวิเคราะห์องค์ประกอบทางเคมี ซึ่งในผลึกแต่ละชนิดมีขนาดของหน่วยเซลล์ไม่เท่ากัน และประกอบด้วยสารที่แตกต่างกันแพทเทอร์น การเลี้ยวเบนของรังสีเอ็กซ์ ซึ่งแสดงความสัมพันธ์ระหว่างมุมการเลี้ยวเบนกับความเนื้อสัมพัทธ์ของพีก การเลี้ยวเบนของรังสีเอ็กซ์ที่มีความยาวคลื่นใกล้เคียงกับขนาดของหน่วยเซลล์ คือ มีขนาดตั้งแต่ประมาณ 0.1-100 Å อังสตรอม จึงสามารถเลี้ยวเบนได้จากผลึก เช่นเดียวกับแสงที่สามารถเลี้ยวเบนจากดิฟแฟร์กชันเกรตติ้ง จะพบว่ารังสีขึ้นมาตกลงบนผลึกที่จุด A และ B ตามลำดับโดยทำมุม 90° กับระนาบของผลึก และดังรูปที่ 2.5 การเลี้ยวเบนของรังสีจะเกิดขึ้นเมื่อระยะทางที่รังสีเอ็กซ์ 1 และ 2 เดินทางต่างกันเป็นจำนวนเท่าของความยาวคลื่น โดยกฎข้อนี้เรียกว่ากฎของแบร์ก (Bragg's law) ซึ่งแสดงให้เห็นว่าถ้ารังสีเอ็กซ์ตกกระทบมีความยาวคลื่นที่คงที่แล้ว มุมของการเลี้ยวเบนรังสีเอ็กซ์จะเกิดขึ้นกับระยะห่างระหว่างระนาบของผลึก

ซึ่งจากการวิเคราะห์ด้วยวิธีนี้ค่อนข้างรวดเร็ว และถูกต้อง สามารถนำไปใช้ประโยชน์ได้หลายกรณีอาทิเช่น การวิเคราะห์ หรือ ระบุองค์ประกอบทางเคมี โครงสร้างของสารที่เป็นผลึก ใช้จำแนกสีก่ออกรางสีใหม่ ทางเภสัชกรรมใช้วิเคราะห์ส่วนประกอบของยา นอกจากนี้ยังใช้ในงานอุตสาหกรรมหลายอย่าง เช่น อุตสาหกรรมปูนซีเมนต์ อุตสาหกรรมเซรามิก อุตสาหกรรมโลหะ อุตสาหกรรมสี อุตสาหกรรมเหมืองแร่ ฯลฯ



รูปที่ 2.5 ลักษณะและหลักการทำงานของเครื่องเอ็กซ์ริดดิฟแฟร์กชัน
ที่มา : นันทวน (2554)

2.5.2 การศึกษาหมู่ฟังก์ชันโดยใช้เทคนิคอินฟราเรดสเปกโตรสโคปี

เครื่องอินฟราเรดสเปกโตรสโคปี (Fourier Transform Infrared Spectroscopy) เป็นเครื่องมือที่ใช้ในการวิเคราะห์วัสดุที่เป็นสารอินทรีย์ และอนินทรีย์ เทคนิกนี้เป็นวิธีการของสเปกโตรสโคปีชนิดหนึ่ง ที่ศึกษาการดูดกลืนแสงของสารในย่านความถี่ของแสงโดยการวิเคราะห์โครงสร้างสารจะอาศัยการดูดกลืนที่แตกต่างกันของแต่ละโมเลกุล ซึ่งโมเลกุลแต่ละชนิดจะมีการดูดกลืนช่วงคลื่นอินฟราเรดที่แตกต่างกันโดยช่วงเลขคลื่น $4000\text{--}1500\text{ cm}^{-1}$ จะเป็นช่วงที่บ่งบอกถึงหมู่ฟังก์ชันของโมเลกุล เช่น -OH, C=O, N-H, CH₃ เป็นต้น และในช่วงเลขคลื่น $1500\text{--}400\text{ cm}^{-1}$ ซึ่งจะมีลักษณะของスペกตรัมที่เฉพาะเจาะจงของสารแต่ละตัว แต่เนื่องจากจะมีพีคเกิดค่อนข้างเยอะ ดังนั้นการวิเคราะห์สเปกตรัมช่วงนี้ค่อนข้างยาก การนำเทคนิคนี้จะนำไปประยุกต์ใช้กับอุตสาหกรรมที่เกี่ยวกับด้านวัสดุศาสตร์ เช่น พอลิเมอร์ช่วยในการจำแนกชนิดของพอลิเมอร์ และในด้านอุตสาหกรรมปิโตรเคมี เนื่องจากเทคนิคนี้มีค่าใช้จ่ายค่อนข้างไม่แพง และรวมไปถึงชนิดของตัวอย่างสามารถวิเคราะห์ได้เกือบทุกชนิด ดังนั้นจึงนิยมใช้เครื่องอินฟราเรดสเปกโตรสโคปี (Fourier Transform Infrared Spectroscopy) นี้ในการตรวจวิเคราะห์หาโครงสร้าง และองค์ประกอบของโมเลกุลรวมกับเทคนิคอื่น ๆ

ตารางที่ 2.2 เป็นฟังก์ชันนลักษรรูปของ HA ที่สนใจศึกษา

ช่วงคลื่น (cm^{-1})	ฟังก์ชันนลักษรรูป
2700-3700	OH ⁻ และ NH ₄ ⁺ stretching
1631	OH ⁻ bending
1450-1550	NH ₄ ⁺ bending
1300-1450	CO ₃ ²⁻
1062 1031	PO ₄ ³⁻ stretching
1027 603 566	PO ₄ ³⁻ bending

ที่มา : แม้น (2541)

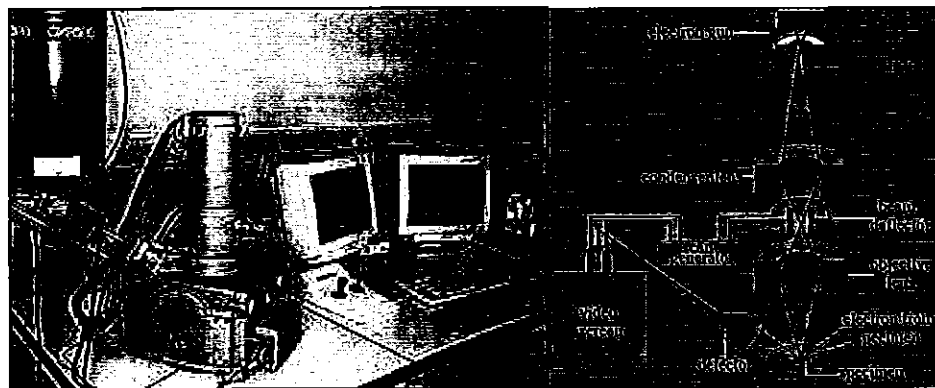
2.5.3 การตรวจสอบโครงสร้างด้วยกล้องจุลทรรศน์อิเล็กตรอนแบบส่องกราด (Scanning Electron Microscope : SEM)

กล้องจุลทรรศน์อิเล็กตรอนแบบส่องกราด เป็นเทคนิคเฉพาะทางที่ได้รับการพัฒนาขึ้น เพื่อให้ศึกษาโครงสร้าง และสมบัติบางประการของสารค่าความชัดลึก (Spatial Resolution) สูงกว่า กล้องจุลทรรศน์แบบแสงทั้งนี้เป็นเพราะ กล้องจุลทรรศน์อิเล็กตรอนแบบส่องกราดใช้สมบัติคลื่นของ อิเล็กตรอนซึ่งมีความยาวคลื่นสั้นกว่า ทำให้กล้องจุลทรรศน์อิเล็กตรอนแบบส่องกราดสามารถตรวจความ ละเอียดได้ถึง 0.2 นาโนเมตร และด้วยความสามารถในการบีบลำอิเล็กตรอนให้เป็นมุมแคบ ๆ ได้ ทำ ให้ภาพที่ได้มีความชัดลึกสูง นอกจากนี้กล้องอิเล็กตรอนแบบส่องกราดยังสามารถใช้ร่วมกับ เทคนิค อื่น ๆ เช่น Energy Despersive Spectrometry (EDXS) และ Wavelength Dispersive Spectrometry (WED) เพื่อให้ข้อมูลในเชิงเคมีอีกด้วย กล้องจุลทรรศน์อิเล็กตรอนแบบส่องกราด เป็น กล้องที่ใช้ส่องดูวัตถุขนาดเล็กมาก ๆ ให้เห็นในอยู่ชั้นได้กว่าเดิมถึงสองแสนเท่า กล้องจุลทรรศน์ อิเล็กตรอนแบบส่อง-กราดเป็นประโยชน์มากในการศึกษาค้นคว้าทางการแพทย์ โลหะวิทยา และ วิทยาศาสตร์ อีกหลายสาขา (บัญชา, 2544) โดยการวิเคราะห์ด้วยกล้องจุลทรรศน์อิเล็กตรอนแบบ ส่องกราดนี้ เพื่อดูลักษณะพื้นผิวของตัวอย่าง ซึ่งสามารถดูความแตกต่างของพื้นผิวได้ โดยชั้นอยู่กับ ลักษณะของสัญญาณที่ใช้ในการวัด (Detector) แบ่งภาพออกเป็น 2 ลักษณะ ดังนี้

2.5.3.1 ภาพที่ได้จากสัญญาณ (Secondary Electron) จะได้ภาพที่เป็นลักษณะพื้นผิว ของตัวอย่างที่มีความสูงต่ำ ขรุขระ ที่เกิดขึ้นจริงบนตัวอย่าง

2.5.3.2 ภาพที่ได้จากสัญญาณ (Back Scattered Electron) จะได้ภาพที่มีลักษณะที่ เป็นภาพพื้นผิวของวัสดุ แต่ให้ความแตกต่างบนพื้นผิวของวัสดุนั้น ร้าดที่มีเลขอະตอมสูงกว่าจะมีเฟสที่ สว่าง กว่าร้าดที่มีเลขอະตอมต่ำกว่า

ลักษณะของตัวอย่าง และชนิดของกล้องจุลทรรศน์อิเล็กตรอนแบบส่องกราด สำหรับกล้องจุลทรรศน์อิเล็กตรอนแบบส่องกราด แบบที่ต้องการสภาพความเป็นสัญญาณสูง การ เตรียมตัวอย่างที่จะศึกษาต้องแห้ง ไม่มีความชื้น และไม่เป็นเปื้อนสารจำพวกไฮดรคาร์บอน (น้ำมัน) เพราะเมื่อชั้นงานอยู่ภายใต้สภาวะสุญญากาศ ความชื้น หรือ สารไฮดรคาร์บอนจะแตกตัวเป็น โมเลกุลเล็ก ๆ ขัดขวางเส้นทางของอิเล็กตรอน ทำให้ภาพที่ได้ไม่ชัดเจนอีกทั้งโมเลกุลเหล่านี้อาจไป เกาะยังส่วนต่าง ๆ ของกล้อง เช่น ผิวของแหล่งกำเนิดอิเล็กตรอน เป็นเหตุให้แหล่งกำเนิดอิเล็กตรอนมี อายุการใช้งานสั้นลง (บัญชา, 2544)



รูปที่ 2.6 ลักษณะและหลักการทำงานกล้องจุลทรรศน์อิเล็กตรอนแบบส่องการดู
ที่มา : มนส (2541)

2.5.4 การทดสอบความต้านทานแรงกด (Compressive strength)

แรงกดเป็นแรงตรงเข้าเดียวกับแรงอัด และแรงดึงโดยมีลักษณะการทดสอบความแข็งแรงคล้ายแรงดึงซึ่งกันที่แรงกดใช้แรงอยู่กับที่ และเพิ่มขนาดของแรงอย่างช้า ๆ จนกระทั่งชิ้นงานที่ทดสอบแตกหัก หรือ ขาดออกจากกันเข่นเดียวกับแรงดึง แต่ชิ้นทดสอบที่รองรับแรงที่มากจะทำจะอยู่บนพื้นราบ การทดสอบความแข็งแรงต่อแรงกดจะมีความนิยมน้อยที่สุด เนื่องจากมีลักษณะของการทดสอบในลักษณะเดียวกับความแข็งแรงประเทือนอื่นรวมทั้งการทดสอบความแข็ง (มนพล, 2531) ซึ่งการทดสอบทำโดยการหล่อชิ้นงานมาตรฐานที่ใช้กันอยู่อย่างแพร่หลายมี 2 รูปทรง คือ

รูปทรงรูปบาศก์ ตามมาตรฐานอังกฤษ BS 1881 : PART 3 ตัวอย่างขนาด เช่น 15 x 15 x 15 เซนติเมตร

รูปทรงกรอบ ก ตามมาตรฐานอเมริกา ASTM C 192 ตัวอย่างขนาด เช่น 6 x 12 มิลลิเมตร

2.5.4.1 วิธีการทดสอบความต้านทานแรงกด

ก. วัดและบันทึกค่าความสูง ความกว้าง และความยาวของก้อนตัวอย่างทดสอบ โดยวัดระยะระหว่างหน้าตัดแนวตั้งให้ละเอียดถึงระดับมิลลิเมตร (กรณีก้อนตัวอย่างเป็นทรงลูกบาศก์)

ข. วัดและบันทึกความสูงและขนาดเส้นผ่านศูนย์กลางของก้อนตัวอย่างทดสอบโดยวัด 2 แนวที่ตั้งฉากกัน ให้วัดให้ละเอียดถึงระดับมิลลิเมตร (กรณีก้อนตัวอย่างเป็นทรงกรอบ ก)

ค. ชั่งน้ำหนัก และบันทึกค่าตัวอย่างทดสอบ

ง. นำก้อนตัวอย่างวางบนกีบกลางของแท่นทดสอบโดยให้แกนอยู่ในแนวศูนย์กลางของแท่งกด

จ. เปิดเครื่องทดสอบ โดยในการทดสอบนี้จะต้องควบคุมอัตราความเค้นให้สม่ำเสมอประมาณ 1.43-3.47 กก./ตร.ซม./วินาที สำหรับก้อนตัวอย่างรูปทรงกรอบ ก และอัตราความเค้นประมาณ 1.12 - 2.72 กก./ตร.ซม./วินาที สำหรับก้อนตัวอย่างรูปทรงลูกบาศก์

ฉ. กดก้อนตัวอย่างจนพัง บันทึกค่าน้ำหนักที่ได้นำค่าน้ำหนักและพื้นที่หน้าตัดที่ได้มาหาค่าความต้านทานแรงกด

$$\text{ความต้านทานแรงกด (N/m^2)} = \frac{F(N)}{\pi r^2(m^2)} \quad (2.1)$$

โดยที่ $\pi = 22/7$ หรือ 3.1428 ค่าคงที่

r = รัศมีของแท่งตัวอย่าง (เมตร : meter)

F = แรงกด (นิวตัน : Newton)

2.6 งานวิจัยที่เกี่ยวข้อง

รังสฤษฎ์ (2553) ได้ทำการศึกษาโครงสร้าง และสมบัติเชิงกลของวัสดุเชิงประกอบระหว่างไยดรอกซีอะพาไทต์กับแป้งข้าวเจ้าโดยพัฒนาทดลองการเตรียมวัสดุผสมเพื่อใช้ทดสอบกระดูกมนุษย์ โดยสมบัติเชิงกลของวัสดุเชิงประกอบขึ้นอยู่กับขนาดของอนุภาคของไยดรอกซีอะพาไทต์ การยึดเกาะระหว่างพื้นผิวสัมผัสของอนุภาคไยดรอกซีอะพาไทต์กับแป้งข้าวเจ้า โดยใช้อัตราส่วนแป้งข้าวเจ้าต่อไยดรอกซีอะพาไทต์ 75:25 เป็นอัตราส่วนที่ดีที่สุด

ภาณุวัฒน์ (2551) ได้ทำการศึกษาการปรับปรุงสมบัติการทนแรงกระแทกของพอลิเมทัคริเลตด้วยพอลิยูริเทน เพื่อใช้เป็นวัสดุทางหันตกรรมจัดฟัน ซึ่งสามารถนำมาประยุกต์ใช้งานด้านหันตกรรมจัดฟันทดสอบแผ่นที่นำเข้าจากต่างประเทศ พบว่ามีลักษณะความยืดหยุ่นที่สูงกว่าแผ่นชั้นงานที่นำเข้าจากต่างประเทศ และสมบัติการต้านทานต่อแรงกระแทกมีค่าใกล้เคียงกัน โดยไม่มีความเป็นอันตรายต่อมนุษย์

Sobczak (2009) ได้ทำการศึกษาการเตรียมไยดรอกซีอะพาไทต์จากกระดูกสัตว์ วิธีการสกัดไยดรอกซีอะพาไทต์จากการแยกแคลไซน์ และการตกตะกอน โดยจะศึกษาไยดรอกซีอะพาไทต์จากเทคนิคการเลี้ยงเบน (XRD) การวิเคราะห์หมู่ฟังชัน (FTIR) และศึกษาสัณฐานวิทยา (SEM) สำหรับอุณหภูมิของการเผา ถ้าได้รับอุณหภูมิที่ต่ำจะทำให้มีเสี้ยม และจะมีเสี้ยวขึ้นถ้าได้รับอุณหภูมิที่สูงความเข้มข้นของแคลเซียม และฟอฟอรัสในกระดูกที่ทำการเผาที่ 650 องศาเซลเซียส จะมีค่าที่ต่ำกว่าการเผาที่อุณหภูมิที่ 950 องศาเซลเซียส เนื่องจากมีสารอินทรีย์ในวัสดุ

Ruksudjarit (2007) ได้สังเคราะห์ไยดรอกซีอะพาไทต์จากกระดูกวัว โดยนำกระดูกวัวสอดที่ห้าได้ตามห้องทดลองมาสกัดเอาไปรตีนออกจนหมดด้วยการต้มในน้ำร้อน และเผาที่อุณหภูมิ 800 องศาเซลเซียส นาน 3 ชั่วโมง นำมานบดย่อยให้ละเอียดมากที่สุด พบว่าผลลัพธ์ของไยดรอกซีอะพาไทต์ที่เตรียมได้เป็นผลลัพธ์ไยดรอกซีอะพาไทต์ที่มีความบริสุทธิ์มีค่า Ca:P เท่ากับ 1.66 และเป็นผลลัพธ์ที่มีขนาดนาโนเมตรที่ระยะเวลาการบด 2-4 ชั่วโมง

บทที่ 3

วิธีการดำเนินงานวิจัย

งานวิจัยนี้ได้ทำการศึกษาผลกระบวนการของพอลิเมทธาคริเลต ที่มีผลต่อสมบัติความต้านทาน แรงดึงของวัสดุเชิงประ坡ห่วงผงไฮดรอกซีอะพาไทต์ที่สังเคราะห์ได้จากการถูกตุกตุกับ พอลิเมทธาคริเลต โดยทำการสังเคราะห์ไฮดรอกซีอะพาไทต์จากกระดูกวัว ซึ่งสามารถยืนยันว่าผง ที่ได้เป็นไฮดรอกซีอะพาไทต์จริงโดยใช้เครื่องวิเคราะห์โดยเทคนิคการเลี้ยวเบนของรังสีเอกซ์ (XRD) เครื่องวิเคราะห์หมู่ฟังก์ชัน (FTIR) และสแกนฐานวิทยา (SEM) เพื่อนำผงไฮดรอกซีอะพาไทต์ที่ได้ไปผสม กับพอลิเมทธาคริเลตในอัตราส่วนต่าง ๆ และขึ้นรูปโดยการหล่อแบบ จากนั้นนำไปทำการ ทดสอบความต้านทานแรงดึง และทำการตรวจสอบการกระจายตัวของผงไฮดรอกซีอะพาไทต์โดยใช้ กล้องจุลทรรศน์อิเล็กตรอนแบบส่องการดู (SEM)

3.1 สารเคมี และวัสดุที่ใช้ในโครงการ

3.1.1 ไฮดรอกซีอะพาไทต์ที่สังเคราะห์ได้จากการถูกตุกตุก

3.1.2 พอลิเมทธาคริเลต (Poly Methyl Methacrylate : PMMA) เกรด MD001
จากข้อมูลบริษัท มิตซูบิชิ เรยอน จำกัด โดยมีสมบัติดังตารางที่ 3.1

ตารางที่ 3.1 สมบัติของพอลิเมทธาคริเลต เกรด MD001

คุณสมบัติ	วิธีการทดสอบ	ชนิด MD0001	หน่วย
ความถ่วงจำเพาะ	ASTM D792	1.19	-
ค่าการดูดซับน้ำ	ASTM D570	0.3	%
อุณหภูมิการอ่อนตัว	ASTM D1525	104	°C
อัตราการหล่อลด	ASTM D1238	5.7	g/10 min
ความต้านทานแรงดึง	ASTM D638	700	kg/cm²
ค่าความยืดตัว	ASTM D638	5	%
ความแข็งแรงตัด	ASTM D790	1,050	kg/cm²
ค่านมูลค่าความคงทน	ASTM D790	3.1×10^4	
ความต้านทานแรงดึง	ASTM D695	1,050	kg/cm²
ความแข็งแรงคงทนต่อการสลาย	ASTM D149	20	kv/mm

ที่มา : บริษัท (มิตซูบิชิ เรยอน จำกัด)

3.1.3 สารละลายน้ำ acetone

3.1.4 เรซิ่น (Resin)

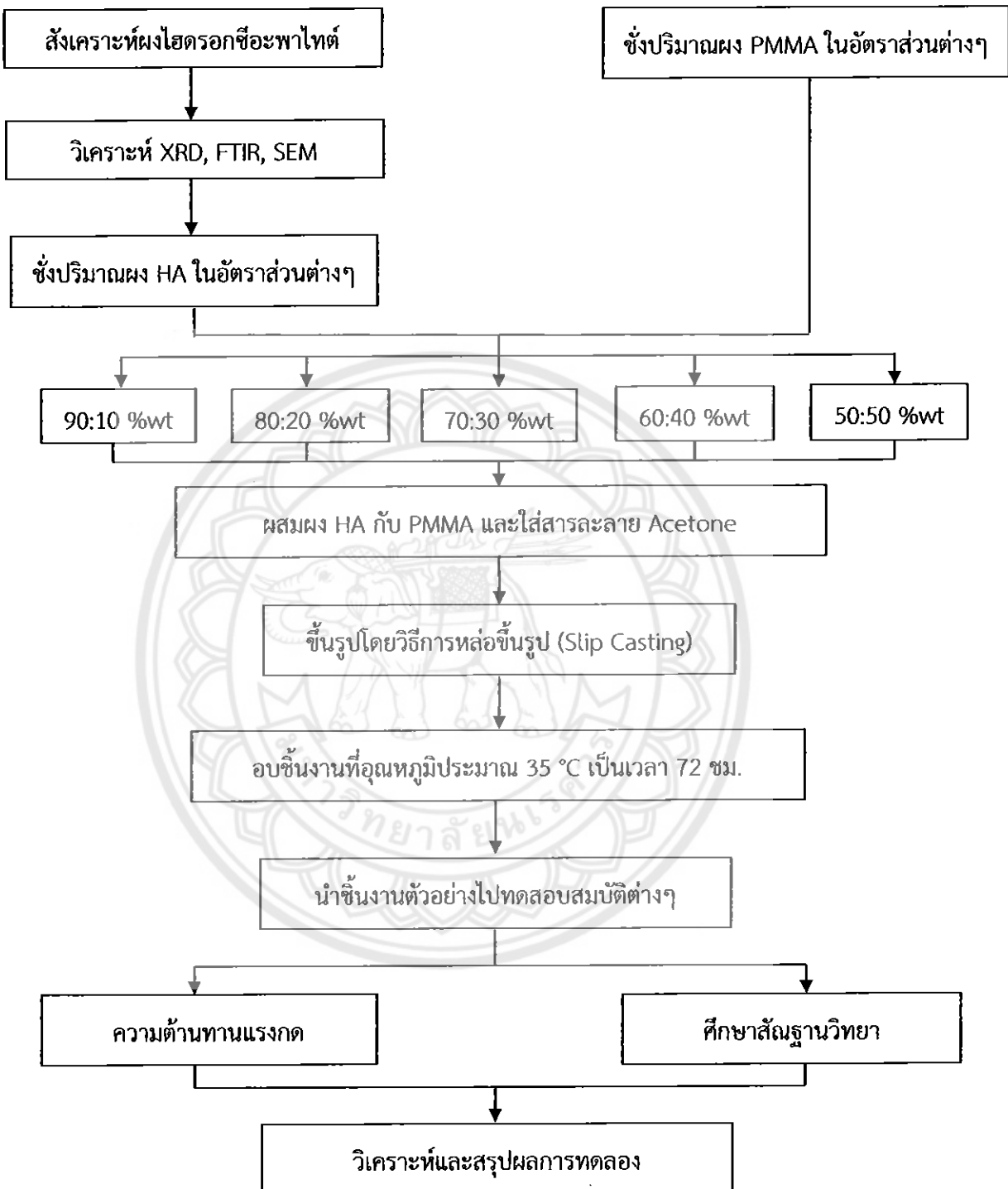
3.1.5 วาสелиน (Vaseline)

3.2 เครื่องมือที่ใช้ในโครงการ

- 3.2.1 เตาเผา
- 3.2.2 ตะแกรงขนาด 270 เมช
- 3.2.3 แม่พิมพ์สำหรับการหล่อ
- 3.2.4 โกร่ง
- 3.2.5 เตาอบ
- 3.2.6 ครุชีเบิล (crucible)
- 3.2.7 กระดาษทราย
- 3.2.8 แท่งแก้วคนสาร
- 3.2.9 บีกเกอร์
- 3.2.10 เครื่องเจาะ
- 3.2.11 กล้องจุลทรรศน์อิเล็กตรอนแบบส่องกราด (SEM)
- 3.2.12 เครื่องอินฟราเรดสเปกโถโรสโกปี (FT-IR)
- 3.2.13 เครื่องวิเคราะห์โดยเทคนิคการเลี้ยวเบนของรังสีเอ็กซ์ (XRD)
- 3.2.14 เครื่องทดสอบเอนกประสงค์ (UTM)



โดยแผนการดำเนินงานในงานวิจัยแสดงได้ดังรูปที่ 3.1



รูปที่ 3.1 แผนการดำเนินงานในงานวิจัย

3.3 วิธีการทดลอง

3.3.1 ขั้นตอนในการเตรียมผงไฮดรอกซีอะพาไทต์ที่สังเคราะห์ได้จากกระดูกวัว

3.3.1.1 นำกระดูกวัวที่ได้มากำจัดโดยต้มในน้ำกลันที่อุณหภูมิ 100 องศาเซลเซียส เป็นเวลาทั้งหมด 48 ชั่วโมง

3.3.1.2 จากนั้นนำไปทำการเผาแคลไนท์ที่อุณหภูมิ 800 องศาเซลเซียส เป็นเวลา 3 ชั่วโมง จากนั้นจึงนำกระดูกที่ได้จากการเผาแคลไนท์แล้วไปทำการลดขนาดด้วยการทบบ หรือทำให้ละเอียดมากที่สุด จากนั้นจึงนำไปทำการบดแห้งด้วยโกร่ง

3.3.1.3 นำผงกระดูกที่ทำการบดละเอียดแล้วไปร่อนผ่านตะราชร่างขนาด 270 เมช

3.3.1.4 นำผงกระดูกที่ได้จากการร่อนไปทำการศึกษาวัสดุภาค (XRD) วิเคราะห์หมู่ฟังก์ชัน (FTIR) และศึกษาสัมฐานวิทยาของผงไฮดรอกซีอะพาไทต์ (SEM)

3.3.2 ขั้นตอนการเตรียมวัสดุเชิงประยุกต์จากผงไฮดรอกซีอะพาไทต์กับพอลิเมทธาคริเลต

3.3.2.1 วิธีการเตรียมโดยการนำพอลิเมทธาคริเลตมาทำการบด หรือ ปั่นโดยเครื่องปั่นเพื่อทำให้พอลิเมทธาคริเลตมีขนาดเล็กลง

3.3.2.2 นำผงไฮดรอกซีอะพาไทต์และผงพอลิเมทธาคริเลตมาผสมกันโดยใช้แท่งแก้วคนสาร โดยชั้งปริมาณของผงไฮดรอกซีอะพาไทต์กับผงพอลิเมทธาคริเลต ดังตารางที่ 3.2

ตารางที่ 3.2 แสดงอัตราส่วนระหว่าง HA กับผง PMMA ในสภาวะของชั้นงานตัวอย่างที่ใช้ในการทดลองต่าง ๆ

สภาวะของชั้นงานที่ใช้ในการทดลอง	อัตราส่วนผง HA : PMMA (%wt)
1	90:10
2	80:20
3	70:30
4	60:40
5	50:50

3.3.2.3 ทำการขึ้นรูปด้วยวิธีการหล่อขึ้นรูป (Slip Casting) โดยใส่สารละลายอะซีโตนลงในอัตราส่วนระหว่างพอลิเมทธาคริเลตต่อสารละลายอะซีโตนเท่ากับ 1 : 0.7 ร้อยละโดยน้ำหนัก โดยใช้เรซินในการทำแม่พิมพ์ จากนั้นนำชั้นงานที่ได้ไปทำการอบแห้งที่อุณหภูมิ 35 องศาเซลเซียส นาน 72 ชั่วโมง

3.3.2.4 ทดสอบสมบัติความต้านทานแรงกด

นำงานที่ได้มาทำการทดสอบความต้านทานแรงกดเพื่อเปรียบเทียบกันระหว่างอัตราส่วนต่าง ๆ ของวัสดุเชิงประภพระหว่างไฮดรอกซีอะพาไทต์กับโพลิเมทธิลเมทาคริเลต

3.3.2.5 ศึกษาสัญญาณวิทยา

นำชิ้นงานไปตรวจสอบลักษณะพื้นผิวด้วยกล้องจุลทรรศน์อิเล็กตรอนแบบส่องกราด (SEM)

3.4 วิธีการทดสอบ

3.4.1 การวิเคราะห์วัฏภาค (Phase) ของผงไฮดรอกซีอะพาไทต์

โดยทั่วไปแล้วการวิเคราะห์วัฏภาค (Phase) จะใช้เทคนิคที่เรียกว่าการเลี้ยงบนของรังสีเอกซ์ (X-Ray Diffraction : XRD) ซึ่ง XRD นั้นเป็นเทคนิคที่ใช้วิเคราะห์ และระบุองค์ประกอบทางเคมี และโครงสร้างของสารที่มีลักษณะเป็นผลึก (Crystalline) และวัสดุที่มีความเป็นผลึกสูงจะให้ลักษณะของพีค (Peak) ที่สูง และแคบในขณะที่วัสดุที่มีความเป็นผลึกต่ำ หรือเป็นอสัมยฐาน (Amorphous) นั้นจะให้ลักษณะของพีคที่ต่ำ และกว้าง ซึ่งเทคนิค XRD นั้นสามารถวิเคราะห์ได้ทั้งผง (Powders) และผลึกเดียว ๆ (Single Crystals)

ในการเตรียมตัวอย่างที่ใช้วิเคราะห์ด้วยเทคนิคนี้ โดยชิ้นงานที่จะนำไปทดสอบเป็นของแข็งจะต้องผ่านการบดด้วยโกร่ง (Mortar) หรือลูกบด เพื่อทำให้เป็นผงละเอียดก่อนจะทำการวิเคราะห์ หลังจากนั้นทำการอัดผงตัวอย่างที่ต้องการวิเคราะห์ลงในที่ใส่ตัวอย่าง (Sample holder) แล้วนำไปวิเคราะห์ด้วยเครื่อง XRD โดยใช้ Ni เป็นตัวรองรับสี และนำผลที่ได้มาเปรียบเทียบกับมาตรฐานของ HA จาก JCPDS หมายเลข 74-0565

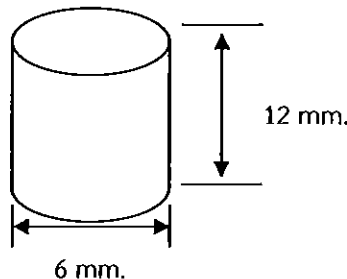
3.4.2 การวิเคราะห์หมุนฟังก์ชัน (Functional group) ของผงไฮดรอกซีอะพาไทต์

การเตรียมตัวอย่างเพื่อใช้สำหรับการวิเคราะห์ด้วยเทคนิคนี้คือ เตรียมให้เป็นแผ่นฟิล์มที่มีลักษณะบางมาก ๆ โดยใช้โพแทสเซียมไบโรไมท์ (KBr) คือมีความหนาประมาณ 0.01-0.1 มิลลิเมตร เพื่อให้แสงผ่านได้มีวิธีการเตรียมโดยใช้โพแทสเซียมไบโรไมท์ (KBr) ซึ่งเป็นสารพวงอัลคาไลอไรด์ โดยใช้สารตัวอย่างที่ต้องการวิเคราะห์ประมาณ 2.0 มิลลิกรัม ผสมกับ KBr ประมาณ 100-200 มิลลิกรัม บดให้เข้ากันในโกร่งจนเป็นเนื้อเดียวกันเมื่อบดเสร็จแล้วนำไปใส่ในเครื่องอัดซึ่งเรียกว่าแม่พิมพ์ และนำแม่พิมพ์ไปเข้าเครื่องไฮดรอลิก (Hydraulic press) โดยใช้แรงดันประมาณ 15 ตัน หลังจากนั้นลดความดัน และปลดเครื่องอัดโดยคลิกออกจากแม่พิมพ์จะได้ตัวอย่างที่เป็นแผ่นฟิล์มบาง จากนั้นนำไปวิเคราะห์ต่อไปด้วยเครื่องสเปกโทรสโคป โดยใช้ช่วงคลื่น $400\text{-}4000 \text{ cm}^{-1}$

3.4.3 สมบัติความต้านทานแรงกด (Compressive strength)

ทดสอบความต้านทานแรงกดโดยใช้เครื่องทดสอบอุณหภูมิประսติก (Universal Testing Machine : UTM) เป็นการทดสอบโดยให้แรงกดลงบนชิ้นงาน ด้วยความเร็ว 0.02 มิลลิเมตรต่อนาที โดยใช้ Load Cell ขนาด 5 กิโลนิวตัน จนกระทั่งชิ้นงานที่ทดสอบแตกหัก หรือขาดออกจากกัน ซึ่งมาตรฐานรูปทรงของชิ้นงานที่จะนำมาทำการทดสอบความต้านทานแรงกด คือ รูปทรงกรวยบอก ตาม

มาตรฐานอเมริกา ASTM C 192 ตัวอย่างขนาดชิ้นงานที่ใช้กว้าง 6 มิลลิเมตร สูง 12 มิลลิเมตร ซึ่งสามารถคำนวณหาค่าความด้านทานแรงกดได้จากสมการที่ 2.1



รูปที่ 3.2 ลักษณะชิ้นงานทรงกระบอกที่นำมาทดสอบ

3.4.4 ศึกษาสัณฐานวิทยาของวัสดุเชิงประกลบ

กล้องจุลทรรศน์อิเล็กตรอนแบบส่องกราด (Scanning Electron Microscope : SEM) ใช้นำมาศึกษาลักษณะพื้นผิวของวัสดุเชิงประกลบที่แตกหักที่อุณหภูมิต่ำ การเตรียมตัวอย่างทำได้โดยการนำชิ้นงานตัวอย่างมาแช่ในในโตรเจนเหลว และทำการหักหันที่ หลังจากนั้นนำมาเคลือบด้วยทอง และนำเข้าเครื่อง SEM ต่อไป โดยจะทำการศึกษาการกระจายตัวของพอลิเมทธิลเมทาคริเลต และเพื่อดูลักษณะพื้นผิวของตัวอย่าง

3.5 วิเคราะห์ผลการทดลอง

วิเคราะห์วัสดุภาคของผงไயดรอกซีอะพาไทต์ วิเคราะห์หมู่ฟังก์ชัน และศึกษาสัณฐานวิทยาของผงไยาดรอกซีอะพาไทต์ที่สังเคราะห์ได้จากการดูกล้วง จากนั้นวิเคราะห์สมบัติความด้านทานแรงกดของวัสดุเชิงประกลบ แล้วจึงวิเคราะห์สัณฐานวิทยาของวัสดุเชิงประกลบ

3.6 สรุปผลการทดลอง

สรุปผลการทดลองในด้านปริมาณของพอลิเมทธิลเมทาคริเลตที่มีผลต่อสมบัติความด้านทานแรงกด และสัณฐานวิทยาในวัสดุเชิงประกลบระหว่างไยาดรอกซีอะพาไทต์ที่สังเคราะห์ได้จากการดูกล้วง กับพอลิเมทธิลเมทาคริเลต และสัณฐานวิทยาของวัสดุเชิงประกลบ

บทที่ 4

ผลการทดลอง และการวิเคราะห์

ในบทนี้จะกล่าวถึงผลการทดลอง และการวิเคราะห์ผลการทดลองของผงไฮดรอกซีอะพาไทต์ที่สังเคราะห์ได้จากการดูดวัว ด้วยรายละเอียดต่อไปนี้

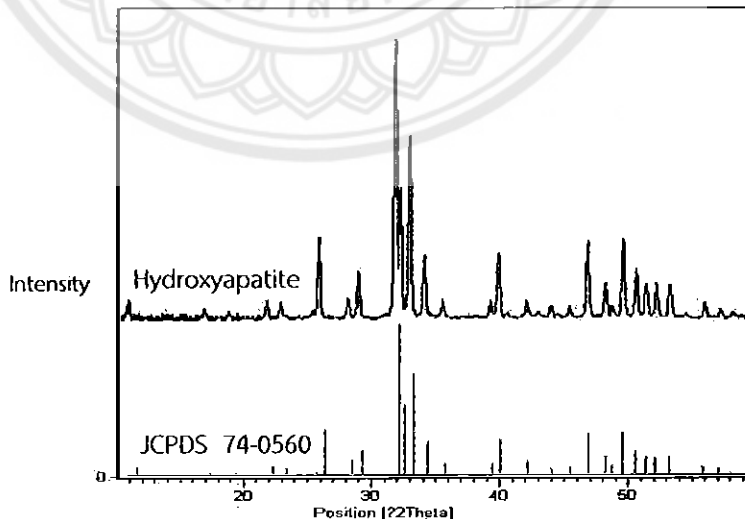
4.1 ผลการวิเคราะห์ผงไฮดรอกซีอะพาไทต์ที่สังเคราะห์ได้จากการดูดวัว

ศึกษาวัสดุ หมู่ฟังก์ชัน และสัณฐานวิทยาของผงไฮดรอกซีอะพาไทต์ที่สังเคราะห์ได้จากการนำกระดูกวัวไปทำการต้มด้วยน้ำกลั่นเป็นเวลา 48 ชั่วโมง หลังจากนั้นนำไปเผาแคลไนซ์ที่ 800 องศาเซลเซียส เป็นเวลา 3 ชั่วโมง แล้วนำไปบดด้วยโกร่ง และร่อนผ่านตะแกรงขนาด 270 เมช

4.1.1 ผลการวิเคราะห์ผงไฮดรอกซีอะพาไทต์ ด้วยเทคนิคการเลี้ยวเบนรังสีเอกซ์ (X-Ray Diffraction : XRD)

จากการตรวจสอบเฟสของผงไฮดรอกซีอะพาไทต์ที่เตรียมได้จากการดูดวัว ที่นำมาใช้ในงานวิจัยนี้ด้วยเทคนิค XRD เพื่อยืนยันว่าผงไฮดรอกซีอะพาไทต์ที่เตรียมได้จากการดูดวัวมีโครงสร้างผลึกเป็นไฮดรอกซีอะพาไทต์ พบว่าได้ผลแสดงในรูปที่ 4.1 แบบอย่างการเลี้ยวเบนของรังสีเอกซ์ของผงไฮดรอกซีอะพาไทต์จากแฟ้มข้อมูล (Joint Committee on Powder Diffraction Standard : JCPDS) หมายเลข 74-0565 ของผงไฮดรอกซีอะพาไทต์ที่มีสูตรทางเคมีเป็น $\text{Ca}_{10}(\text{PO}_4)_6(\text{OH})_2$ ที่มีหน่วยเซลล์จัดอยู่ในระบบผลึกแบบเอกซะgonal (Hexagonal)

จากการวิเคราะห์ผงไฮดรอกซีอะพาไทต์ ด้วยเทคนิคการเลี้ยวเบนรังสีเอกซ์ (X-Ray Diffraction : XRD) สรุปว่าได้ผงไฮดรอกซีอะพาไทต์ที่สังเคราะห์ได้จากการดูดวัวมีโครงสร้างผลึกเป็นไฮดรอกซีอะพาไทต์

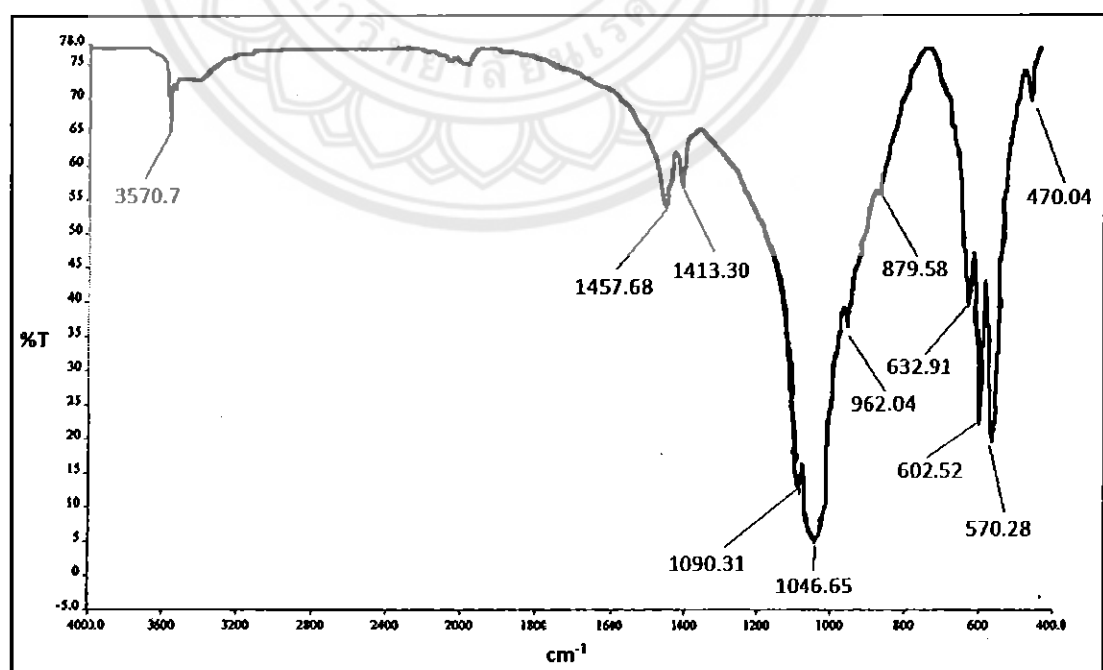


รูปที่ 4.1 ผลการวิเคราะห์ผงไฮดรอกซีอะพาไทต์ที่สังเคราะห์ได้จากการดูดวัว ด้วยเทคนิค XRD
เปรียบเทียบกับแบบอย่างการเลี้ยวเบนของรังสีเอกซ์จากแฟ้มข้อมูล JCPDS หมายเลข 74-0565

4.1.2 ผลการวิเคราะห์ผงไฮดรอกซีอะพาไทต์ ด้วยเครื่องฟูเรียร์ทรายสฟอร์ม อินฟราเรด สเปกโตรสโคปี (Fourier Transform Infrared Spectroscopy : FTIR)

จากการตรวจสอบวิเคราะห์หมู่ฟังก์ชันของผงไฮดรอกซีอะพาไทต์ที่สังเคราะห์ได้จากกระดูกวัว ที่นำมาใช้ในงานวิจัยนี้ด้วยเทคนิค FT-IR เพื่อที่ยืนยันว่าผงไฮดรอกซีอะพาไทต์ที่สังเคราะห์ได้จากกระดูกวัวมีหมู่ฟังก์ชันที่มีค่าใกล้เคียงกับช่วงคลื่นของฟังก์ชันลักษณะที่คุณลักษณะ เช่น การแสดงออกของสารดูดกลืนรังสีแสงอินฟราเรดมาตรฐาน และแสดงถึงความบริสุทธิ์ของผงไฮดรอกซีอะพาไทต์ โดยแสดงในรูปที่ 4.2 และตารางที่ 4.1 พบว่าในช่วงประมาณพีคที่ $3570.71, 632.91 \text{ cm}^{-1}$ จะแสดงหมู่ฟังก์ชัน OH^- stretching (คือ เมื่อมีโมเลกุลของสารดูดกลืนรังสีแสงอินฟราเรดพันธะของโมเลกุลนั้นจะเกิดการยืด) ส่วนในช่วงพีคที่ $1457.68, 1413.30, 962.04, 879.58 \text{ cm}^{-1}$ จะแสดงหมู่ฟังก์ชัน CO_3^{2-} ส่วนในช่วงประมาณพีคที่ $1047-1095 \text{ cm}^{-1}$ จะแสดงหมู่ฟังก์ชัน PO_4^{3-} stretching และในช่วงประมาณพีคที่ $470-636 \text{ cm}^{-1}$ จะแสดงหมู่ฟังก์ชัน PO_4^{3-} bending (คือ เมื่อมีโมเลกุลของสารดูดกลืนรังสีแสง อินฟราเรดพันธะของโมเลกุลนั้นจะเกิดการงอ) โดยนำผลช่วงคลื่นที่ได้ไปเปรียบเทียบกับช่วงคลื่นต่างๆ ของ (Ruksudjarit, 2007) และตารางที่ 4.2 พบว่าพีคที่ $3570, 602 \text{ cm}^{-1}$ จะแสดงหมู่ฟังก์ชัน OH^- stretching ส่วนในช่วงพีคที่ $1429, 1390, 914, 879 \text{ cm}^{-1}$ จะแสดงหมู่ฟังก์ชัน CO_3^{2-} ส่วนในช่วงพีคที่ $1046-1090 \text{ cm}^{-1}$ จะแสดงหมู่ฟังก์ชัน PO_4^{3-} stretching และช่วงประมาณพีคที่ $570-636 \text{ cm}^{-1}$ จะแสดงหมู่ฟังก์ชัน PO_4^{3-} bending

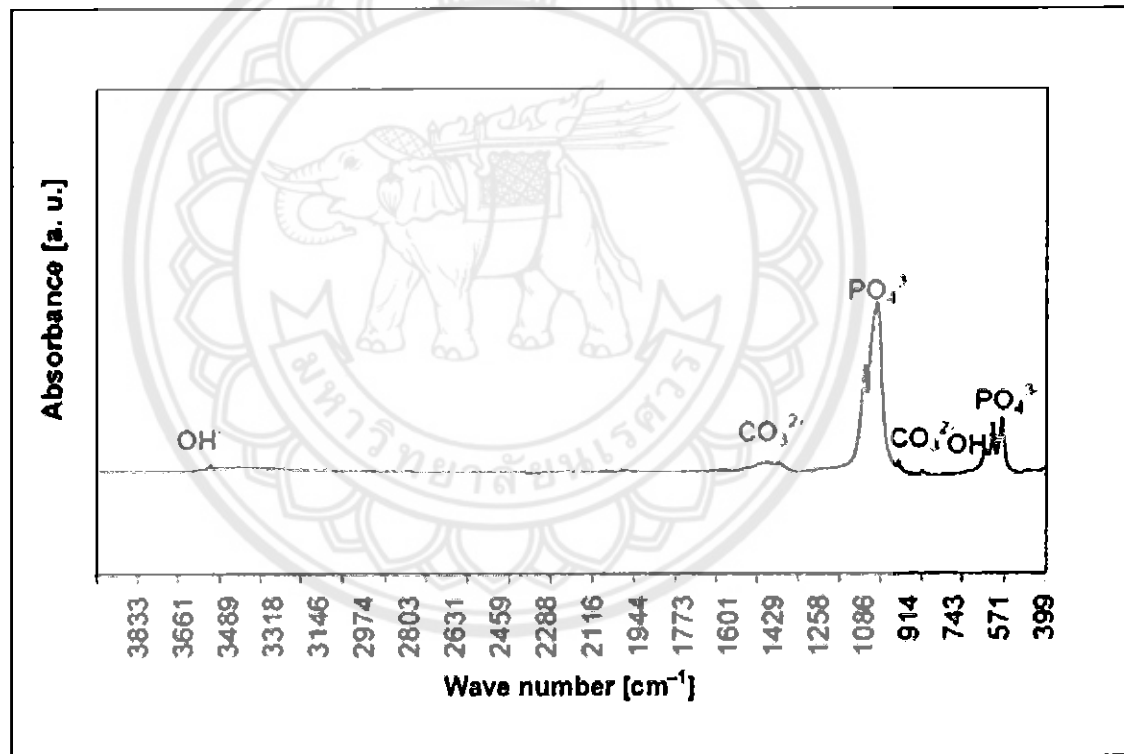
จากการวิเคราะห์ผงไฮดรอกซีอะพาไทต์ ด้วยเครื่องฟูเรียร์ทรายสฟอร์ม อินฟราเรดสเปกโตรสโคปี (Fourier Transform Infrared Spectroscopy : FTIR) สรุปได้ว่าผงไฮดรอกซีอะพาไทต์ที่สังเคราะห์ได้จากกระดูกวัวมีหมู่ฟังก์ชันที่มี CO_3^{2-} ซึ่งเป็นแผลเขียวมาร์บอนเนทที่เป็นองค์ประกอบของกระดูกโดยไม่เป็นอันตรายต่อร่างกายประปนอยู่ในไฮดรอกซีอะพาไทต์ (Ruksudjarit, 2007)



รูปที่ 4.2 อินฟราเรดสเปกตรัมของผงไฮดรอกซีอะพาไทต์ที่สังเคราะห์ได้จากกระดูกวัว

ตารางที่ 4.1 อินฟราเรดสเปกตรัมของผงไฮดรอกซีอะพาไทต์ที่สังเคราะห์ได้จากการถูกวัดด้วยเทคนิค FTIR

ช่วงคลื่น (cm^{-1})	พิงก์ชันนลกรูป
3570	OH^- stretching
602	
1457.68	
1413.30	CO_3^{2-}
962.04	
879.58	
1047-1095	PO_4^{3-} stretching
470-636	PO_4^{3-} bending



รูปที่ 4.3 อินฟราเรดสเปกตรัมของผงไฮดรอกซีอะพาไทต์ที่สังเคราะห์ได้จากการถูกวัดโดยการนำไปเผาที่แคลไซน์ที่อุณหภูมิ $800\text{ }^\circ\text{C}$
ที่มา : Ruksudjarit (2007)

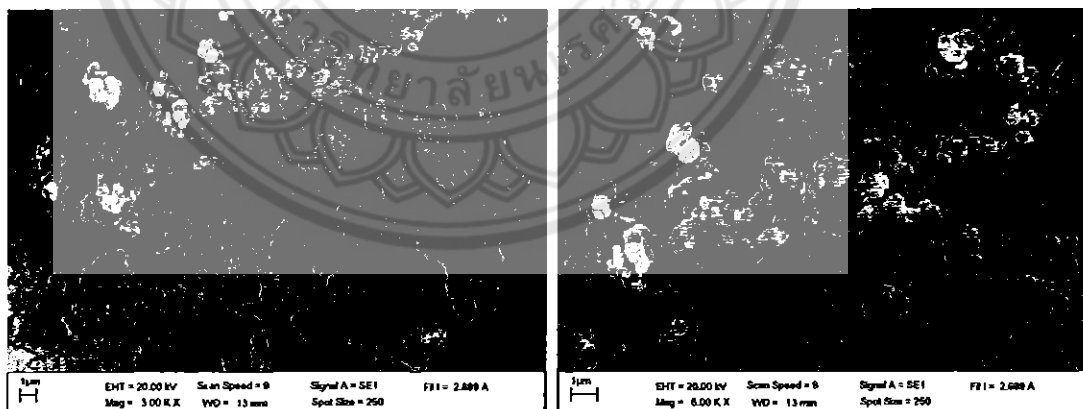
ตารางที่ 4.2 อินฟราเรดスペกตรัมของผงไฮดรอกซีอะพาไทท์ที่สังเคราะห์ได้จากการดูดควันด้วยเทคนิค FTIR

ช่วงคลื่น (cm^{-1})	พังค์ชันลักษณะ
3550	
632	OH stretching
1429	
1390	
914	CO_3^{2-}
879	
1046 - 1090	PO_4^{3-} stretching
570-636	PO_4^{3-} bending

ที่มา : Ruksudjarit (2007)

4.1.3 ผลการวิเคราะห์ขนาดอนุภาคของผงไฮดรอกซีอะพาไทท์ ด้วยกล้องจุลทรรศน์อิเล็กตรอนแบบส่องกราด (Scanning Eletron Microscopy : SEM)

ผลจากการนำผงไฮดรอกซีอะพาไทท์ ไปวิเคราะห์ด้วยกล้องจุลทรรศน์อิเล็กตรอนแบบส่องกราด (SEM) พบว่าอนุภาคของผงไฮดรอกซีอะพาไทท์ที่รูปร่างค่อนข้างที่จะเป็นทรงกลม พื้นผิวไม่เรียบ ทำให้มีการจับตัวกันได้แน่นขึ้น เนื่องจากมีรูปร่างที่เป็นทรงกลมสามารถจัดเรียงตัวได้ดี ส่งผลให้วัสดุภาคของพอลิเมอร์สามารถแทรกตัวเข้าไปในช่องว่างระหว่างอนุภาคของไฮดรอกซีอะพาไทท์ที่สังเคราะห์ได้จากการดูดควันด้วยรูปที่ 4.4



ก)

ข)

รูปที่ 4.4 สัณฐานวิทยาของผงไฮดรอกซีอะพาไทท์ที่สังเคราะห์ได้จากการดูดควัน

ก) ที่กำลังขยาย 3000 เท่า

ข) ที่กำลังขยาย 5000 เท่า

15944661

๘,

กานา

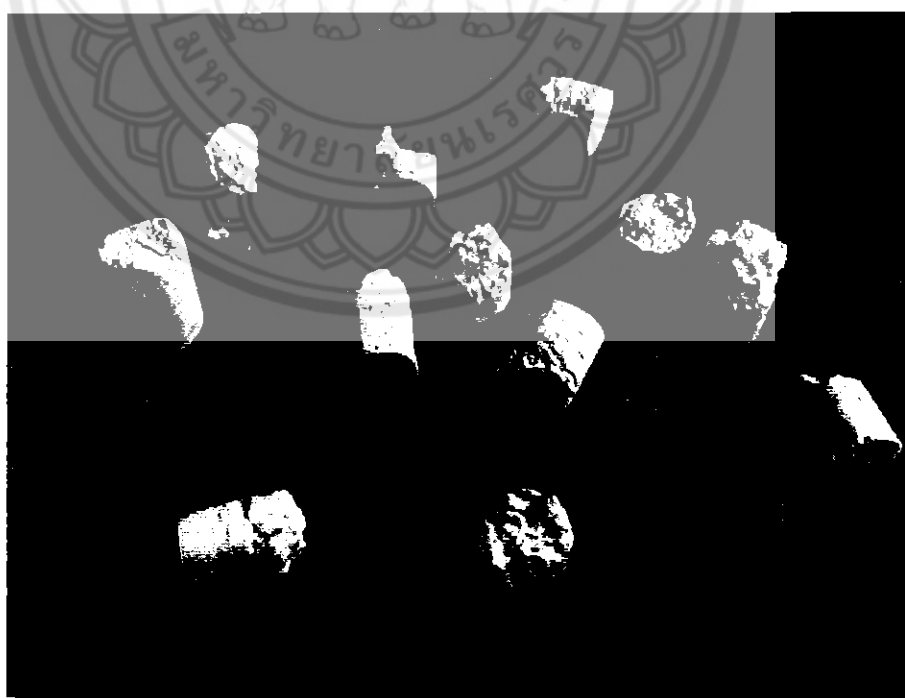
2664

4.2 ผลการวิเคราะห์วัสดุเชิงประกอบระหว่างไอดรอกซีอะพาไทต์ที่สังเคราะห์ได้จากกระดูกวัวกับพอลิเมทิลเมทาคริเลต

วิเคราะห์สมบัติความด้านทานแรงกด และศึกษาสัณฐานวิทยาของวัสดุเชิงประกอบระหว่างผงไอดรอกซีอะพาไทต์ที่สังเคราะห์ได้จากการดูดูวักกับพอลิเมทิลเมทาคริเลต โดยมีขั้นตอนการขึ้นรูปชิ้นงานดังรูปที่ 3.1 โดยทำการซั่งอัตราส่วนของผงไอดรอกซีอะพาไทต์กับพอลิเมทิลเมทาคริเลตตามตารางที่ 3.2 และทำการละลายพอลิเมทิลเมทาคริเลตด้วยสารละลายอะซีโนน จากนั้นขึ้นรูปด้วยวิธี Slip Casting และทำให้ชิ้นงานเป็นรูปทรงกระบอกมีขนาดความยาว 12 มิลลิเมตร กว้าง 6 มิลลิเมตร ด้วยแม่พิมพ์เรซิ่น

4.2.1 ผลการวิเคราะห์สมบัติความด้านทานแรงกดของวัสดุเชิงประกอบระหว่างผงไอดรอกซีอะพาไทต์ที่สังเคราะห์ได้จากการดูดูวักกับพอลิเมทิลเมทาคริเลต

จากการทดลองพบว่าวัสดุเชิงประกอบระหว่างผงไอดรอกซีอะพาไทต์ที่สังเคราะห์ได้จากการดูดูวักกับพอลิเมทิลเมทาคริเลตที่แสดงดังรูปที่ 4.4 จะเห็นได้ว่าอัตราส่วนของผงไอดรอกซีอะพาไทต์ที่สังเคราะห์ได้จากการดูดูวักกับพอลิเมทิลเมทาคริเลตที่ 90:10 ร้อยละโดยน้ำหนัก ไม่สามารถขึ้นรูปได้ เนื่องจากในอัตราส่วนของผงไอดรอกซีอะพาไทต์ที่สังเคราะห์ได้จากการดูดูวักกับพอลิเมทิลเมทาคริเลตที่ 90:10 ร้อยละโดยน้ำหนัก มีปริมาณของพอลิเมทิลเมทาคริเลตมีน้อยเกินไป จึงทำให้เกิดการยืดเกราะระหว่างอนุภาคของผงไอดรอกซีอะพาไทต์ที่สังเคราะห์ได้จากการดูดูวักกับพอลิเมทิลเมทาคริเลตได้น้อย และไม่เพียงพอที่จะทำให้ชิ้นงานสามารถคงรูปอยู่ได้ จึงทำให้เกิดการเสียรูป เกิดการแตกหัก และไม่สามารถนำไปทดสอบความด้านทานแรงกดได้ แสดงดังรูปที่ 4.5



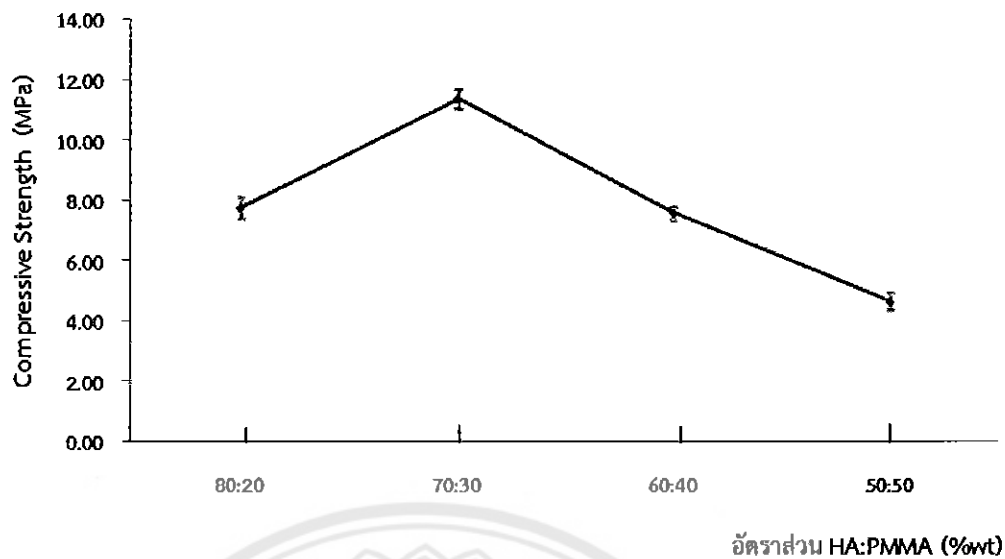
รูปที่ 4.5 วัสดุเชิงประกอบในอัตราส่วนของผงไอดรอกซีอะพาไทต์ที่สังเคราะห์ได้จากการดูดูวักกับพอลิเมทิลเมทาคริเลตที่ 90:10 ร้อยละโดยน้ำหนัก

จากรูปที่ 4.6 แสดงความสัมพันธ์ความต้านทานแรงกดของวัสดุเชิงประกลบระหว่างผงไฮดรอกซิอะพาไทต์ที่สังเคราะห์ได้จากการดูดซึบกับพอลิเมทิลเมทาคริเลต พบร่วมกันเพื่อปริมาณของพอลิเมทิลเมทาคริเลตเพิ่มขึ้น ทำให้วัสดุเชิงประกลบมีค่าความต้านทานแรงกดเพิ่มขึ้น จนถึงอัตราส่วน 70:30 ร้อยละโดยน้ำหนัก และมีแนวโน้มที่ลดลงเมื่อปริมาณของพอลิเมทิลเมทาคริเลตเพิ่มขึ้น

โดยอัตราส่วนของผงไฮดรอกซิอะพาไทต์ที่สังเคราะห์ได้จากการดูดซึบกับพอลิเมทิลเมทาคริเลตที่ 70:30 ร้อยละโดยน้ำหนัก เป็นอัตราส่วนที่รับแรงกดได้มากที่สุด เฉลี่ยประมาณ 11.67 เมกะปาส卡ล เนื่องจากเมื่อปริมาณของพอลิเมทิลเมทาคริเลตในวัสดุเชิงประกลบเพิ่มขึ้น ทำให้วัสดุเชิงประกลบนั้นมีความสามารถในการยึดเกาะระหว่างผงไฮดรอกซิอะพาไทต์ที่สังเคราะห์ได้จากการดูดซึบกับพอลิเมทิลเมทาคริเลตเพิ่มมากขึ้น เมื่อวัสดุเชิงประกลบได้รับแรงกด ทำให้ความสามารถในการถ่ายโอนแรงจากไฮดรอกซิอะพาไทต์ซึ่งทำหน้าที่เป็นเนื้อพื้น (Matrix) ไปยังพอลิเมทิลเมทาคริเลตซึ่งทำหน้าที่เป็นสารตัวเติม (Filler) เพิ่มมากขึ้น ส่งผลให้มีค่าความต้านทานแรงกดเพิ่มขึ้น และเมื่อพอลิเมทิลเมทาคริเลตถูกละลายโดยสารละลายอะซีโตน ส่งผลให้มุ่งระหว่างพันธะของ C-C เกิดการเปลี่ยนแปลง ทำให้สายโซ่ไม่เลกูลของพอลิเมทิลเมทาคริเลต เกิดการเปลี่ยนแปลงขนาดได้มากขึ้น นอกจากนี้ พันธะเออสเทอร์ (C=O) จะสามารถเกิดพันธะไฮโดรเจนกับฟอสฟอรัส (PO_4)₆ จากไฮดรอกซิอะพาไทต์ ส่งผลให้วัสดุเชิงประกลบมีความแข็งแรงของรอยต่อระหว่างวัสดุภาคเกิดการส่งผ่านแรงได้ดียิ่งขึ้น

วัสดุเชิงประกลบระหว่างผงไฮดรอกซิอะพาไทต์ที่สังเคราะห์ได้จากการดูดซึบกับพอลิเมทิลเมทาคริเลตที่อัตราส่วน 80:20 ร้อยละโดยน้ำหนัก มีค่าความต้านทานแรงกดรองลงมาอันดับสอง เนื่องจากมีปริมาณของพอลิเมทิลเมทาคริเลตที่น้อยกว่าอัตราส่วน 70:30 ร้อยละโดยน้ำหนัก ทำให้มีการยึดเกาะน้อยกว่า และการถ่ายโอนแรงระหว่างผงไฮดรอกซิอะพาไทต์ที่สังเคราะห์ได้จากการดูดซึบกับพอลิเมทิลเมทาคริเลตที่น้อยกว่าอัตราส่วน 70:30 ร้อยละโดยน้ำหนัก เมื่อนำชิ้นงานไปทดสอบค่าความต้านทานแรงกดแล้ว ชิ้นงานเกิดการแตกหักแบบเปราะ ซึ่งสรุปได้ว่าชิ้นงานนั้นมีปริมาณพอลิเมทิลเมทาคริเลตที่เพียงพอที่จะทำให้ชิ้นงานสามารถคงรูปอยู่ได้ แต่ปริมาณของพอลิเมทิลเมทาคริเลตนั้นยังไม่เพียงพอที่ยึดเกาะกับผงไฮดรอกซิอะพาไทต์ได้ทั่วทั้งชิ้นงาน ทำให้มีการถ่ายโอนแรงไม่เท่ากันทั่วทั้งชิ้นงาน

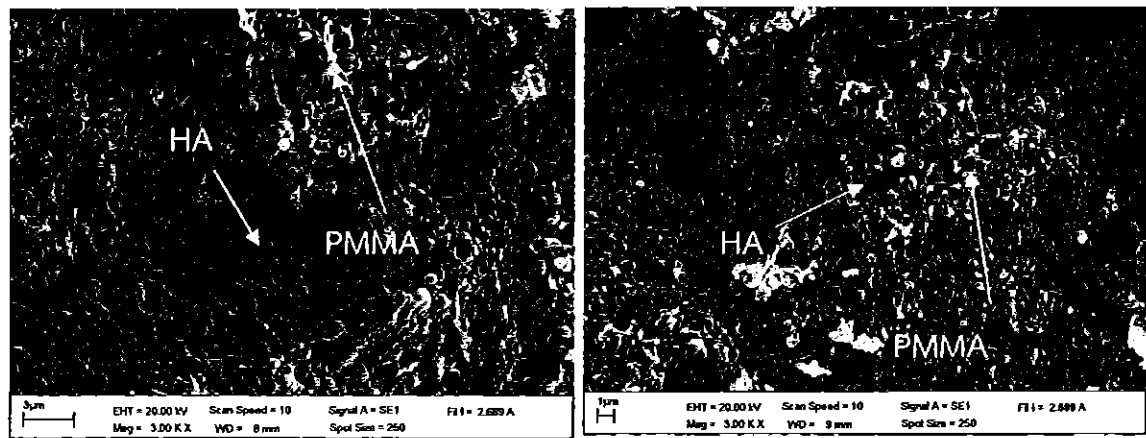
เมื่อพิจารณาจากปริมาณอัตราส่วนของผงไฮดรอกซิอะพาไทต์ที่สังเคราะห์ได้จากการดูดซึบกับพอลิเมทิลเมทาคริเลต 60:40 และ 50:50 ร้อยละโดยน้ำหนัก พบว่าค่าความต้านทานแรงกดลดลง เนื่องจากไฮดรอกซิอะพาไทต์ที่มีความหนาแน่นที่สูงกว่าพอลิเมทิลเมทาคริเลต และเป็นเนื้อพื้นทำหน้าที่ยึดส่วนเสริมแรงของวัสดุเชิงประกลบ และปริมาณของพอลิเมทิลเมทาคริเลตที่เพิ่มขึ้นส่งผลให้ปริมาณของผงไฮดรอกซิอะพาไทต์ที่ทำหน้าที่ยึดส่วนเสริมแรงลดลง ทำให้ค่าความต้านทานแรงกดของวัสดุเชิงประกลบลดลงตามลำดับ ตามอัตราส่วนของพอลิเมทิลเมทาคริเลตที่เพิ่มขึ้น แสดงดังรูปที่ 4.6



รูปที่ 4.6 ความสัมพันธ์ระหว่างสมบัติด้านความต้านทานแรงกดของวัสดุเชิงประกลบ และอัตราส่วนของผงไฮดรอกซีอะพาไทต์ที่สังเคราะห์ได้จากการดูดวักกับพอลิเมทิลเมทาคริเลต

4.2.2 ผลการวิเคราะห์วัสดุเชิงประกลบระหว่างไฮดรอกซีอะพาไทต์ที่สังเคราะห์ได้จากการดูดวักกับพอลิเมทิลเมทาคริเลต ด้วยกล้องจุลทรรศน์อิเล็กตรอนแบบส่องกราด (Scanning Eletron Microscopy : SEM)

จากการทดสอบค่าความต้านทานแรงกดพบว่า อัตราส่วนของไฮดรอกซีอะพาไทต์ที่สังเคราะห์ได้จากการดูดวักกับพอลิเมทิลเมทาคริเลตที่ 70:30 ร้อยละโดยน้ำหนัก มีความแข็งมากที่สุด และอัตราส่วนของไฮดรอกซีอะพาไทต์ที่สังเคราะห์ได้จากการดูดวักกับพอลิเมทิลเมทาคริเลตที่ 50:50 ร้อยละโดยน้ำหนัก มีความแข็งแรงน้อยที่สุด จึงนำอัตราส่วนทั้ง 2 ไปทำการวิเคราะห์ด้วยกล้องจุลทรรศน์อิเล็กตรอนแบบส่องกราด (SEM) เพื่อเปรียบเทียบดูการยึดเกาะระหว่างผงไฮดรอกซีอะพาไทต์ที่สังเคราะห์ได้จากการดูดวักกับพอลิเมทิลเมทาคริเลตในวัสดุเชิงประกลบ พบว่า อัตราส่วนของผงไฮดรอกซีอะพาไทต์ที่สังเคราะห์ได้จากการดูดวักกับพอลิเมทิลเมทาคริเลตที่ 70:30 ร้อยละโดยน้ำหนัก มีการกระจายตัวของผงไฮดรอกซีอะพาไทต์ที่สม่ำเสมอ แสดงดังรูปที่ 4.7 และ 4.8 ส่งผลให้อัตราส่วนของผงไฮดรอกซีอะพาไทต์ที่สังเคราะห์ได้จากการดูดวักกับพอลิเมทิลเมทาคริเลตที่ 70:30 ร้อยละโดยน้ำหนัก สามารถรับแรงได้ดีซึ่งสอดคล้องกับค่าความต้านทานแรงกดของวัสดุเชิงประกลบระหว่างผงไฮดรอกซีอะพาไทต์ที่สังเคราะห์ได้จากการดูดวักกับพอลิเมทิลเมทาคริเลตที่ อัตราส่วน 70:30 ร้อยละโดยน้ำหนัก และวัสดุเชิงประกลบที่มีอัตราส่วนระหว่างผงไฮดรอกซีอะพาไทต์ที่สังเคราะห์ได้จากการดูดวักกับพอลิเมทิลเมทาคริเลตที่ 50:50 ร้อยละโดยน้ำหนัก มีการกระจายตัวของผงไฮดรอกซีอะพาไทต์ และจับตัวเป็นก้อนขนาดใหญ่แสดงดังรูปที่ 4.7 และ 4.8 ส่งผลให้มีค่าความต้านทานแรงกดน้อยกว่าอัตราส่วนของผงไฮดรอกซีอะพาไทต์ที่สังเคราะห์ได้จากการดูดวักกับพอลิเมทิลเมทาคริเลตที่ 70:30 ร้อยละโดยน้ำหนัก



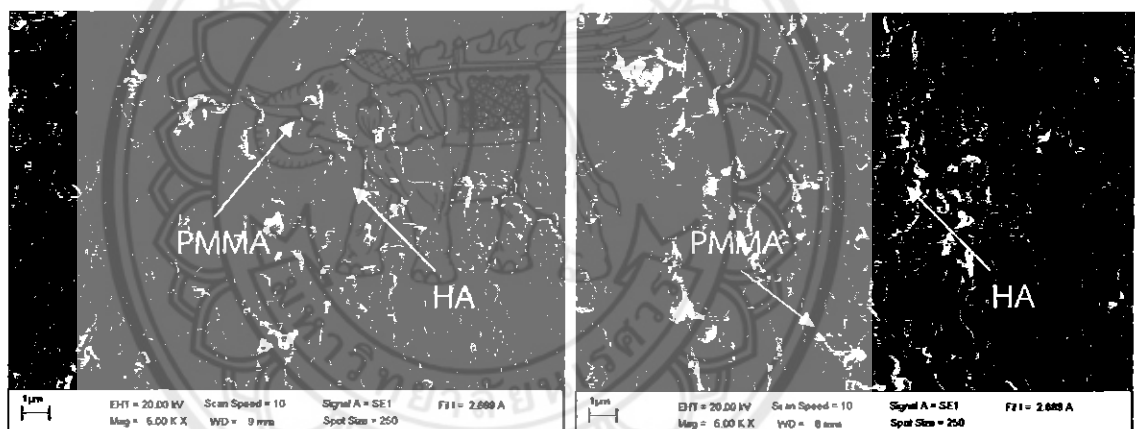
(ก)

(ข)

รูปที่ 4.7 สัมฐานวิทยาของวัสดุเชิงประภณฑ์รอกซีอะพาไทต์ที่สังเคราะห์ได้จากกระดูกวัวกับพอลิเมทิลเมทาคริเลต ที่กำลังขยาย 3000 เท่า

ก) อัตราส่วน 70:30 ร้อยละโดยน้ำหนัก

ข) อัตราส่วน 50:50 ร้อยละโดยน้ำหนัก



(ก)

(ข)

รูปที่ 4.8 สัมฐานวิทยาของวัสดุเชิงประภณฑ์รอกซีอะพาไทต์ที่สังเคราะห์ได้จากกระดูกวัวกับพอลิเมทิลเมทาคริเลต ที่กำลังขยาย 5000 เท่า

ก) อัตราส่วน 70:30 ร้อยละโดยน้ำหนัก

ข) อัตราส่วน 50:50 ร้อยละโดยน้ำหนัก

บทที่ 5

บทสรุป และข้อเสนอแนะ

ในบทนี้จะกล่าวถึงบทสรุป ข้อเสนอแนะ และการพัฒนา ปัญหาที่พบ และแนวทางการแก้ไข ปัญหาของโครงการวิจัย โดยมีรายละเอียดดังนี้

5.1 บทสรุป

5.1.1 ในงานวิจัยนี้การสังเคราะห์ผงไฮดรอกซิอะพาไทต์จากกระดูกวัว มีความเป็นไฮดรอกซิอะพาไทต์ โดยทำการยินยอมจากการวิเคราะห์วัสดุภาคด้วยเทคนิค XRD หมุนฟังก์ชันด้วยเทคนิค FTIR และสัมฐานวิทยาด้วยเทคนิค SEM

5.1.2 สมบัติความต้านทานแรงกดของวัสดุเชิงประกลับระหว่างผงไฮดรอกซิอะพาไทต์ที่สังเคราะห์ได้จากการกระดูกวัวกับพอลิเมทิลเมทาคริเลต จะขึ้นอยู่กับปริมาณของผงไฮดรอกซิอะพาไทต์ที่ยึดเกาะระหว่างพื้นผิวสัมผัสของพอลิเมทิลเมทาคริเลต และปริมาณผงไฮดรอกซิอะพาไทต์มีผลอย่างมากต่อสมบัติความต้านทานแรงกด เนื่องจากปริมาณของพอลิเมทิลเมทาคริเลตที่เพิ่มขึ้นส่งผลให้ความต้านทานแรงกดของวัสดุเชิงประกลับลดลง

5.1.3 ผลจากการศึกษาสัมฐานวิทยาด้วยกล้องจุลทรรศน์อิเล็กทรอนแบบส่องร้าด (SEM) พบว่าเมื่อปริมาณของพอลิเมทิลเมทาคริเลตเพิ่มขึ้น ทำให้การยึดเกาะระหว่างผงไฮดรอกซิอะพาไทต์ที่สังเคราะห์ได้จากการกระดูกวัวกับพอลิเมทิลเมทาคริเลต และการกระจายตัวของผงไฮดรอกซิอะพาไทต์เพิ่มขึ้น แต่เมื่อปริมาณของพอลิเมทิลเมทาคริเลตเพิ่มขึ้นเกินกว่า 30 ร้อยละโดยน้ำหนัก การกระจายตัวของไฮดรอกซิอะพาไทต์นั้นลดลง

5.2 ข้อเสนอแนะ และการพัฒนา

5.2.1 สำหรับการปรับปรุงสมบัติความต้านทานแรงกดของชิ้นงานสามารถทำได้โดยการเพิ่มแรงอัดในการขึ้นรูปชิ้นงาน

5.2.2 การเลือกวัสดุในงานวิจัยนี้จะทำการเลือกโดยที่วัสดุนั้นจะต้องมีคุณสมบัติที่จัดอยู่ในกลุ่มของวัสดุชีวภาพ จึงเหมาะสมต่อการนำไปทำการทดลองความเข้ากันได้กับสิ่งมีชีวิต เช่น สัตว์ทดลอง

5.2.3 ทดลองหารสารตัวเติม หรือสารช่วยกระจายตัวชนิดอื่นมาช่วยในการขึ้นรูปที่ต้องการความซับซ้อน และช่วยให้ชิ้นงานแข็งแรงมากขึ้น

5.3 ปัญหาที่พบ และแนวทางการแก้ปัญหา

5.3.1 การทำวัสดุเชิงประกลับระหว่างไฮดรอกซิอะพาไทต์ที่สังเคราะห์ได้จากการกระดูกวัวกับพอลิเมทิลเมทาคริเลตที่ใช้ในงานวิจัย เป็นการขึ้นรูปด้วยมือ ซึ่งเป็นผลให้การขึ้นรูปชิ้นงานนั้นใช้แรงในการอัดขึ้นรูปไปถึงที่ เกิดความไม่สม่ำเสมอระหว่างชิ้นงาน จึงควรปรับลักษณะการขึ้นรูป

5.3.2 ชิ้นงานจากการขึ้นรูป เมื่อทิ้งไว้จนชิ้นงานแข็งตัวแล้ว ชิ้นงานจะติดกับแม่พิมพ์ ดังนั้นจึงควรใช้สารหล่อลื่นทามาแม่พิมพ์

5.3.3 จากการขึ้นรูปชิ้นงานเนื่องจากชิ้นงานมีส่วนผสมของสารละลายอะซีโตน ซึ่งเป็นสารละลายที่สามารถระเหยได้ไวมาก จึงต้องใช้หักจะะ และความสามารถที่ดีในการขึ้นรูป มิฉะนั้นชิ้นงานอาจแข็งตัวก่อนการขึ้นรูปได้



เอกสารอ้างอิง

กิติกร จามรดุสิต และคณะ ทะเบียนสิทธิบัตรประเทศไทยเรื่อง “การเตรียมแผ่นสไตรีน-เมทิลเมทา-คริเลตโคพอลิเมอร์ทันแรงกระแทกแบบโปร่งใสด้วยกระบวนการหล่อ” เลขที่คำขอ ๐๖๐๑๐๐๒๖๓๕ ยื่นจดทะเบียนเมื่อวันที่ ๘ มิถุนายน พ.ศ. ๒๕๓๙

กิติกร จามรดุสิต และคณะ ทะเบียนสิทธิบัตรประเทศไทยเรื่อง “การปรับปรุงสมบัติการทนแรงกระแทกของแผ่นสไตรีน-เมทิลเมทาคริเลตโคพอลิเมอร์ด้วยยากรรรมชาติโดยกระบวนการหล่อ” เลขที่คำขอ ๐๖๐๑๐๐๒๖๓๖ ยื่นจดทะเบียนเมื่อวันที่ ๘ มิถุนายน พ.ศ. ๒๕๓๙ นับวัน มีเย็น และว่างคณา บุษยวิทย์. X-Ray Diffractrometer. สืบค้นเมื่อวันที่ 14 กันยายน 2554, จาก <http://tinyurl.com/3pkp99q>

บัญชา ธนาบุญสมบัติ และศุภกาญจน์ คำนี. (2544). จุลทรรศน์อิเล็กตรอนแบบสแกนนิ่งประชาน্ত์โลกรดับจุลภาค. (พิมพ์ครั้งที่ 1). ปทุมธานี : ศูนย์เทคโนโลยีโลหะ และวัสดุแห่งชาติ ภาณุวัฒน์ ประเสริฐพงษ์ และคณะ. (2551). การปรับปรุงสมบัติการทนแรงกระแทกของพอลิเมทิลเมทาคริเลตด้วยพอลิยูริเทนเพื่อใช้เป็นวัสดุทางทันตกรรมจัดฟัน. ปริญญาบัณฑิต. บ. คณะทันตแพทยศาสตร์ มหาวิทยาลัยมหิดล, นครปฐม หมายอรุณ. (2536). การทดสอบความแข็งแรงของวัสดุ Strength of Material Testing. หน้า 9-15. กรุงเทพ: ศูนย์ส่งเสริมอาชีวะ.

มนัส สถิร Jin Da. (2541). โลหะนอกกลุ่มเหล็ก. (พิมพ์ครั้งที่ 4). กรุงเทพมหานคร : โรงพิมพ์แห่งจุฬาลงกรณ์มหาวิทยาลัย.

มนัส สถิร Jin Da. (2541). วิศวกรรมการอบชุบเหล็ก. กรุงเทพมหานคร : โรงพิมพ์จุฬาลงกรณ์มหาวิทยาลัย, ม.ป.ป.

รังสฤษฎ์ คุณฤทัย. (2553). โครงสร้าง และสมบัติเชิงกลของวัสดุสมาระหว่างไฮดรอกซิโอฟายเต็ กับแป้งข้าว. ปริญญาบัณฑิต. วศ.บ. สาขาวิชาเคมีอุตสาหกรรม มหาวิทยาลัยเชียงใหม่, เชียงใหม่

แม้น ออมรสิทธิ์ และสมชัย อัครทิวา. (2541). วิศวกรรมวัสดุ. กรุงเทพฯ : แมคโครอิล Billmeyer, F. W. Jr., Textbook of Polymer Science, John Wiley, Singapore, 3rd ed., (1984) : 384-386

Ruksudjarit, A. Pengpat, K. Rujijanagul, G. and Tunkasiri, T. (2007). “Synthesis and characterization of nanocrystalline hydroxyapatite from natural bovine bone”. Current Applied Physics., 8 : 270-272

Sobczak A. Kowalski Z. (2009). Preparation of hydroxyapatite from animal bone. Cracow University of Technology, Cracow, Poland

William D. Callister, Jr. MATERIALS SCIENCE AND ENGINEERING AN INTRODUCTION
สืบค้นเมื่อวันที่ 12 สิงหาคม 2554, จาก <http://tinyurl.com/3ggleat>

เอกสารอ้างอิง (ต่อ)

- Weiner, S. and Wagner, H. D. (1998). "The materials bone : structure - mechanical function Relations". Annual Review of Materials Science, 28 : 271-298.
- Yasuda, H. et al. (2000). "Microstructure and mechanical property of synthesized hydroxyapatite prepared by colloidal process. Biomaterials, 21(20) : 2045-2049.





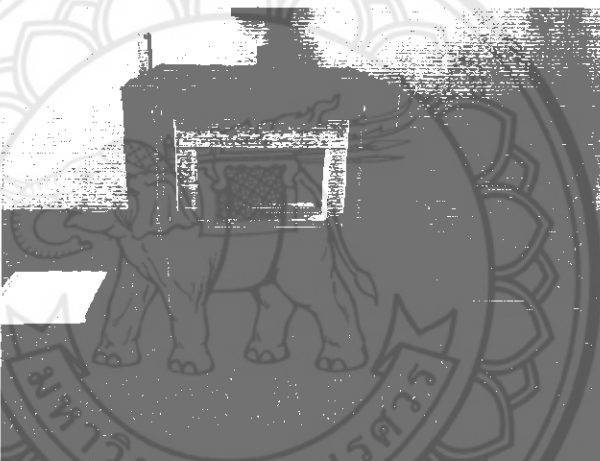
ภาคนิวัฒน์ ก

ลักษณะผงไฮดรอกซีอะพาไทต์ที่สังเคราะห์ได้จากการถูกว้า

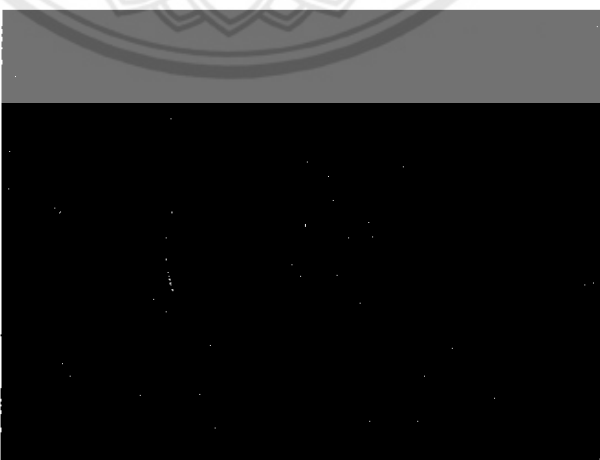
รูปที่ ก.1 กระดูกวัวที่ผ่านการต้มเป็นเวลา 48 ชม.



รูปที่ ก.2 ขั้นตอนการนำกระดูกวัวไปเผาแคลไชน์ท่ออุณหภูมิประมาณ 800°C



รูปที่ ก.3 ไอลรอกซีอะพาไทต์ที่สังเคราะห์ได้จากการดูดวัว



รูปที่ ก.4 ขั้นตอนการโกร่งไฮดรอกซีอะพาไทต์ที่สังเคราะห์ได้จากการดูดกัวว



รูปที่ ก.5 ผงไฮดรอกซีอะพาไทต์ที่สังเคราะห์ได้จากการดูดกัวว

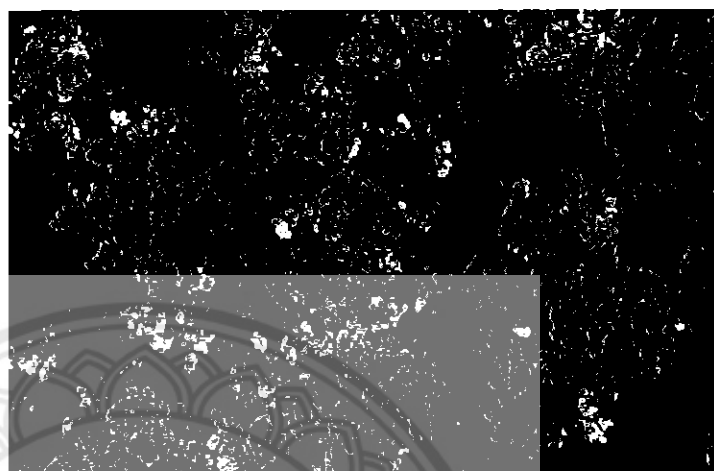
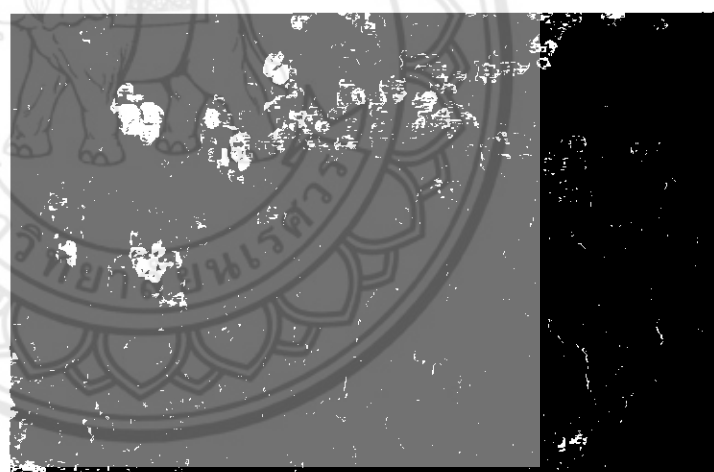




ภาควิชาฯ

ลักษณะสัณฐานวิทยาของไฮดรอกซีอะพาไทต์ที่สังเคราะห์ได้จากกระดูกวัวที่
กำลังขยายต่างๆ

ตารางที่ ๖ ลักษณะสัณฐานวิทยาของไฮดรอกซีอะพาไทต์ที่สังเคราะห์ได้จากการดูดวัวที่กำลังขยายตัวๆ

กำลังขยาย	ผงไฮดรอกซีอะพาไทต์ที่สังเคราะห์ได้จากการดูดวัว
1000x	 <p>3µm EHT = 20.00 kV Scan Speed = 8 Signal A = SE1 Mag = 1.00 KX WD = 13 mm Spot Size = 250 FID = 2.689 A</p>
3000x	 <p>1µm EHT = 20.00 kV Scan Speed = 8 Signal A = SE1 Mag = 3.00 KX WD = 13 mm Spot Size = 250 FID = 2.689 A</p>

ตารางที่ ๖ (ต่อ) ลักษณะสัณฐานวิทยาของไฮดรอกซีอะพาไทต์ที่สังเคราะห์ได้จากการถูกวิวที่กำลังขยายต่างๆ

กำลังขยาย	ผงไฮดรอกซีอะพาไทต์ที่สังเคราะห์ได้จากการถูกวิว
5000x	<p>1 μm EHT = 20.00 kV Scan Speed = 9 Signal A = SE1 FRT = 2.689 A Mag = 5.00 KX WD = 13 mm Spot Size = 250</p>

ภาควิชา ก

แรงดึงของสตุ๊เชิงประดิษฐ์กับพอลิเมทิลเมทาคริเลตที่ได้
จากการทดสอบความต้านทานแรงดึงโดยเครื่อง Universal Testing Machine

ตารางที่ ค แรงกดของสุดเชิงประดิษฐ์ระหว่างไอดรอกซีอะพาไทต์กับพอลิเมทิลเมทาคริเลตจาก การทดสอบความต้านทานแรงกดโดยเครื่อง Universal Testing Machine

อัตราส่วน ระหว่างไอดรอ กซีอะพาไทต์กับ พอลิเมทิลเม ทาคริเลต	ขั้นงาน ชั้นที่	ขนาดเส้น ผ่าน ศูนย์กลาง (mm.)	ความสูง (mm.)	แรงกด (N)	แรงกด เฉลี่ย (N)	ค่าเบี่ยงเบน มาตรฐาน
90 : 10	1	-	-	-		
	2	-	-	-		
	3	-	-	-		
	4	-	-	-		
	5	-	-	-		
80 : 10	1	6.00	12.08	217.404		
	2	6.00	12.13	224.180		
	3	6.00	12.09	216.918	219.38	10.00
	4	6.00	11.88	205.66		
	5	6.00	12.04	232.74		
70 : 30	1	6.00	12.03	337.5		
	2	6.00	12.10	316.43		
	3	6.00	12.03	317.38	321.86	9.46
	4	6.00	12.00	323.85		
	5	6.00	12.07	314.13		
60 : 40	1	6.00	12.07	216.97		
	2	6.00	12.01	217.43		
	3	6.00	12.23	203.7	214.13	6.25
	4	6.00	12.02	213.17		
	5	6.00	12.03	219.37		
50 : 50	1	6.00	12.10	126.6		
	2	6.00	12.13	140.4		
	3	6.00	12.06	133.68	130.92	8.092
	4	6.00	12.00	119.39		
	5	6.00	12.15	134.51		

ภาคนวาก ง



ค่าความต้านทานแรงกดของวัสดุเชิงประยุกต์ระหว่างไฮดรอกซีอะพาไทต์กับโพลิเม-

ทิลเมทาคริเลตที่ได้จากการทดสอบความต้านทานแรงกดโดยเครื่อง

Universal Testing Machine

ตารางที่ ๕ ค่าความต้านทานแรงกดของวัสดุเชิงประภณระหว่างไอ์ดรอกซีอะพาร์ทกับพอลิเมทิลเอมิทาคริเลตที่ได้จากการทดสอบความต้านทานแรงกดโดยเครื่อง Universal Testing Machine

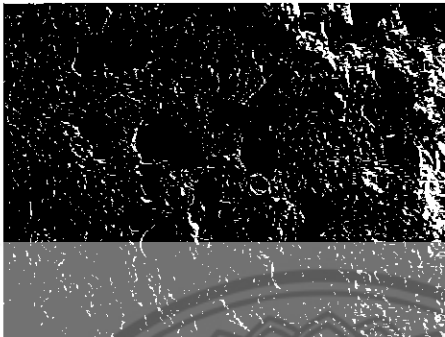
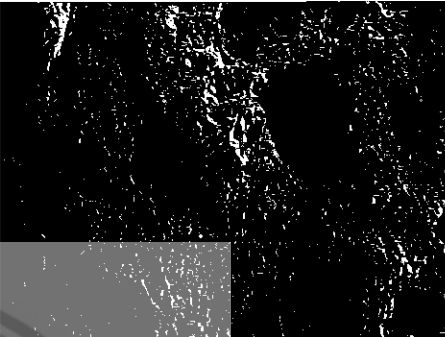
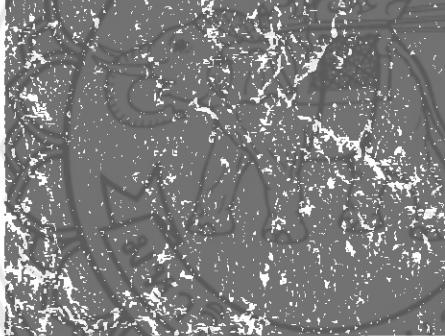
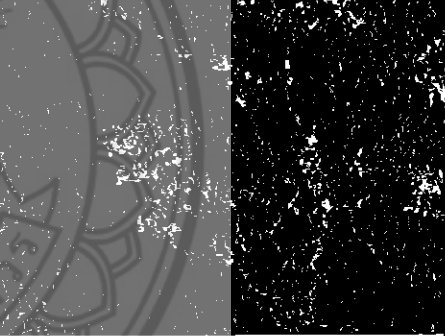
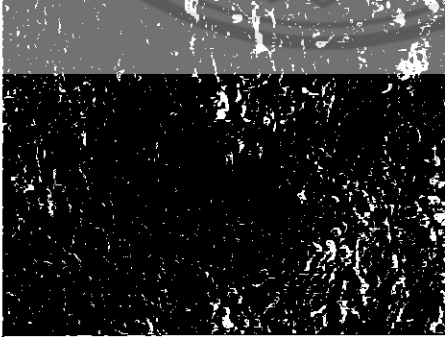
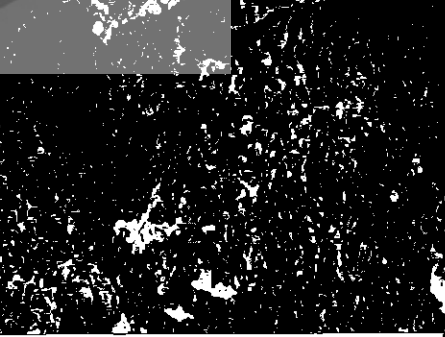
อัตราส่วน ระหว่างไอ์ดรอก ซีอะพาร์ทกับ ¹ พอลิเมทิลเอมิ ทาคริเลต	ชิ้นงาน ชิ้นที่	ขนาดเส้น ผ่าน ศูนย์กลาง (mm.)	ความสูง (mm.)	ความ ต้านทาน แรงกด (MPa)	ความ ต้านทาน แรงกดเฉลี่ย (MPa)	ส่วน เบี่ยงเบน มาตรฐาน
90 : 10	1	-	-	-		
	2	-	-	-		
	3	-	-	-		
	4	-	-	-		
	5	-	-	-		
80 : 10	1	6.00	12.08	7.69		
	2	6.00	12.13	7.93		
	3	6.00	12.09	7.67	7.76	0.35
	4	6.00	11.88	7.27		
	5	6.00	12.04	8.23		
70 : 30	1	6.00	12.03	11.94		
	2	6.00	12.10	11.19		
	3	6.00	12.03	11.23	11.38	0.33
	4	6.00	12.00	11.45		
	5	6.00	12.07	11.11		
60 : 40	1	6.00	12.07	7.67		
	2	6.00	12.01	7.69		
	3	6.00	12.23	7.20	7.57	0.22
	4	6.00	12.02	7.54		
	5	6.00	12.03	7.76		
50 : 50	1	6.00	12.10	4.48		
	2	6.00	12.13	4.97		
	3	6.00	12.06	4.73	4.63	0.29
	4	6.00	12.00	4.22		
	5	6.00	12.15	4.76		

ภาคผนวก จะ

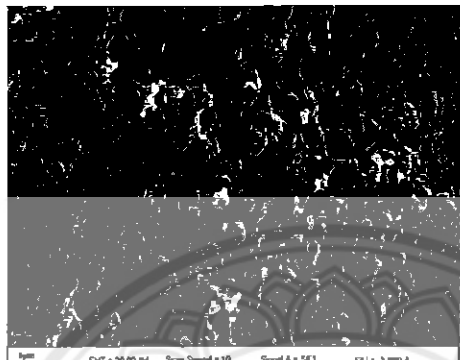
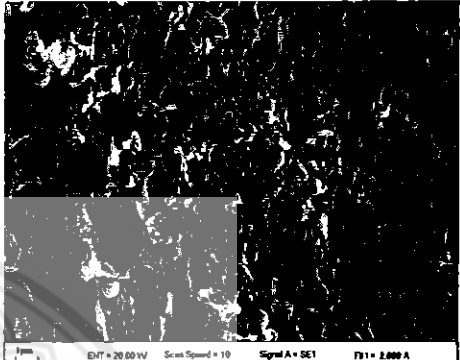
ลักษณะสัณฐานวิทยาของวัสดุเชิงประวัติศาสตร์อีกด้วยซึ่งมีความสำคัญทางประวัติศาสตร์และศิลปะที่มีค่าอย่างมาก



ตารางที่ จ ลักษณะสัณฐานวิทยาของวัสดุเชิงประกลงระหว่างไฮดรอกซีอะพาไทต์กับพอลิเมทิลเมทاكريเลตในอัตราส่วน 70:30 และ 50:50 ที่กำลังขยาย 30,1000,3000,5000 เท่า

กำลังขยาย	อัตราส่วนระหว่างไฮดรอกซีอะพาไทต์กับพอลิเมทิลเมทاكريเลต	
	70:30	50:50
30x	 <p>180 μm EHT = 20.00 kV Scan Speed = 10 Signal A = SE1 F1 = 2.000 Å Mag. = 30 X VFO = 0 nm Spot Size = 250</p>	 <p>180 μm EHT = 20.00 kV Scan Speed = 10 Signal A = SE1 F1 = 2.000 Å Mag. = 30 X VFO = 0 nm Spot Size = 250</p>
1000x	 <p>3 μm EHT = 20.00 kV Scan Speed = 10 Signal A = SE1 F1 = 2.000 Å Mag. = 1000 X VFO = 0 nm Spot Size = 250</p>	 <p>3 μm EHT = 20.00 kV Scan Speed = 10 Signal A = SE1 F1 = 2.000 Å Mag. = 1000 X VFO = 0 nm Spot Size = 250</p>
3000x	 <p>2 μm EHT = 20.00 kV Scan Speed = 10 Signal A = SE1 F1 = 2.000 Å Mag. = 3000 X VFO = 0 nm Spot Size = 250</p>	 <p>2 μm EHT = 20.00 kV Scan Speed = 10 Signal A = SE1 F1 = 2.000 Å Mag. = 3000 X VFO = 0 nm Spot Size = 250</p>

ตารางที่ จ (ต่อ) ลักษณะสัณฐานวิทยาของวัสดุเชิงประภพระหว่างไฮดรอกซีอะพาไทต์กับพอลิเมทิลเมทาคริเลตในอัตราส่วน 70:30 และ 50:50 ที่กำลังขยาย 30,1000,3000,5000 เท่า

กำลังขยาย	อัตราส่วนระหว่างไฮดรอกซีอะพาไทต์กับพอลิเมทิลเมทาคริเลต	
	70 : 30	50 : 50
5000x	 <p>EHT = 20.00 kV Scan Speed = 10 Signal A = SE1 F11 = 2.000 A Mag = 5.00 K.X WD = 9 mm Spot Size = 250</p>	 <p>EHT = 20.00 kV Scan Speed = 10 Signal A = SE1 F11 = 2.000 A Mag = 5.00 K.X WD = 1 mm Spot Size = 250</p>

